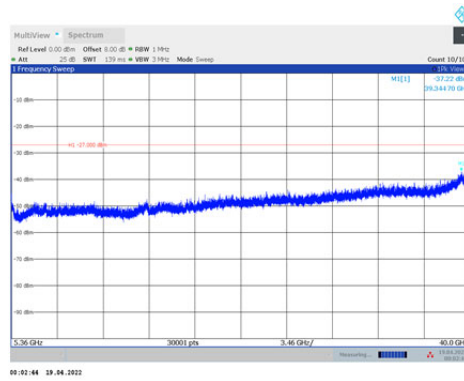
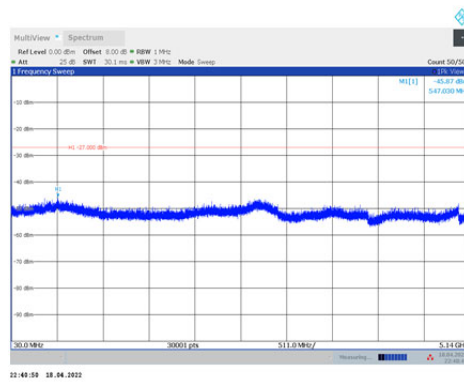


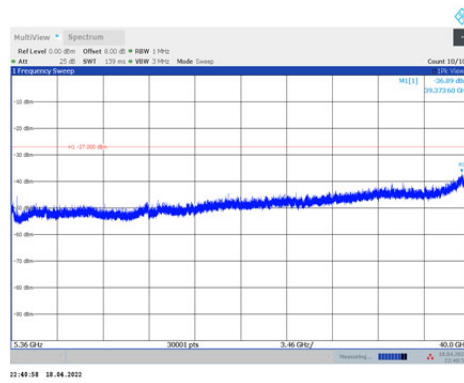
11A-CDD_Ant2_5300_5360~40000



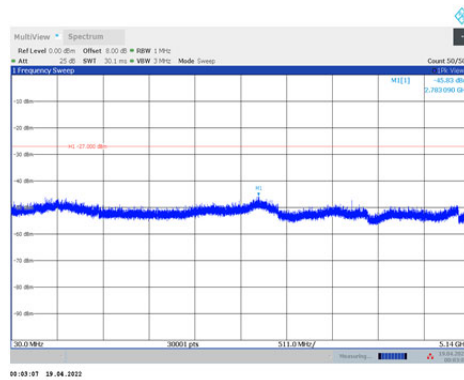
11A-CDD_Ant1_5320_30~5140



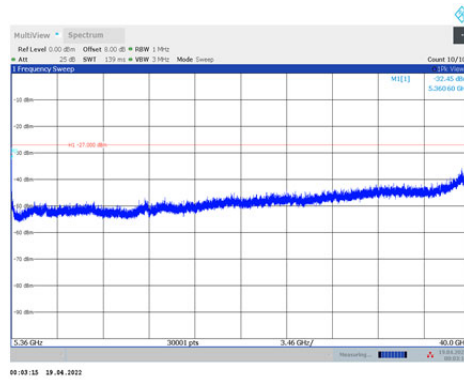
11A-CDD_Ant1_5320_5360~40000



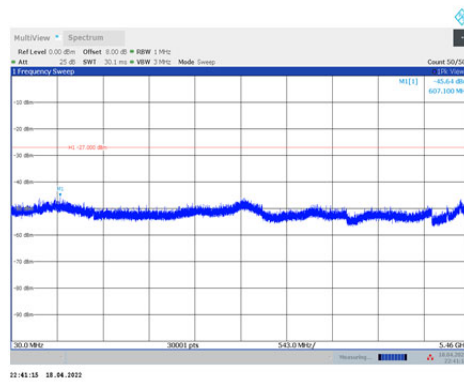
11A-CDD_Ant2_5320_30~5140



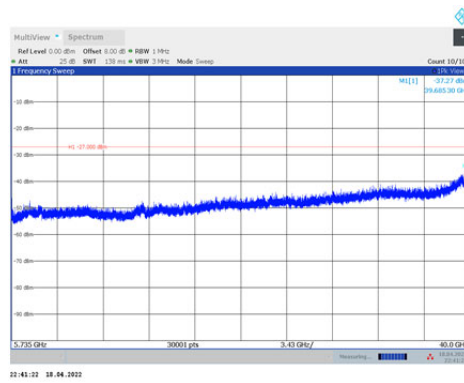
11A-CDD_Ant2_5320_5360~40000



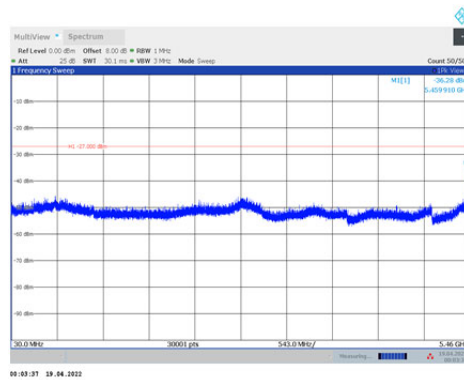
11A-CDD_Ant1_5500_30~5460



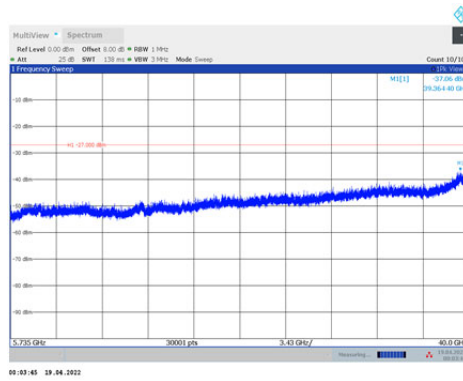
11A-CDD_Ant1_5500_5735~40000



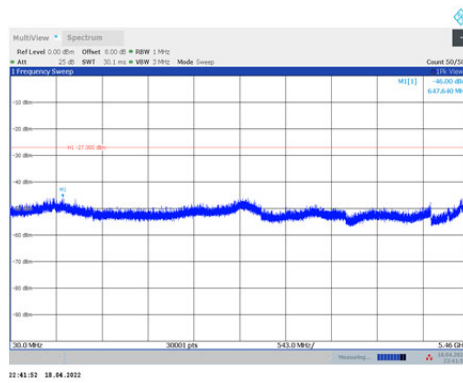
11A-CDD_Ant2_5500_30~5460



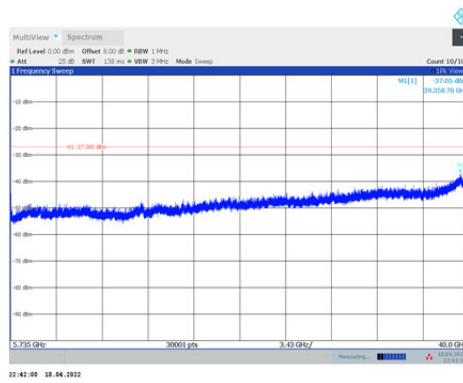
11A-CDD_Ant2_5500_5735~40000



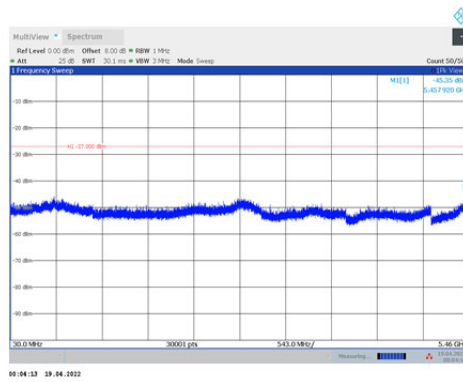
11A-CDD_Ant1_5520_30~5460



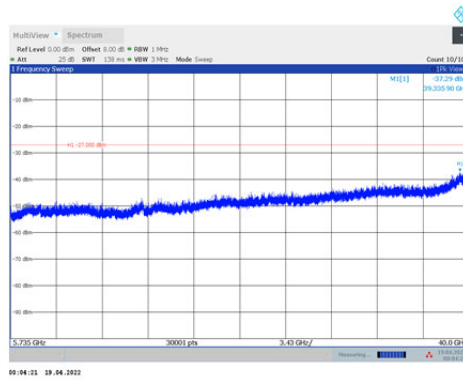
11A-CDD_Ant1_5520_5735~40000



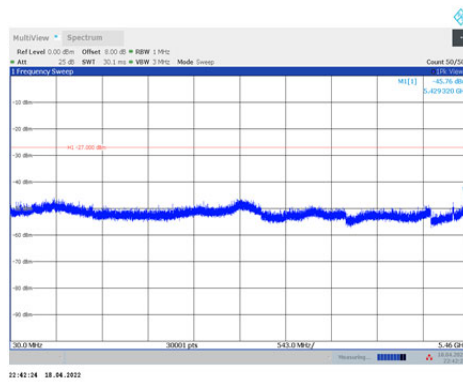
11A-CDD_Ant2_5520_30~5460



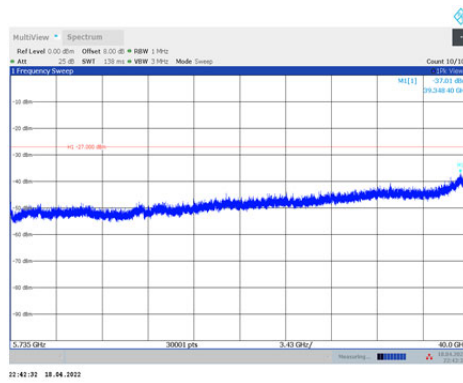
11A-CDD_Ant2_5520_5735~40000



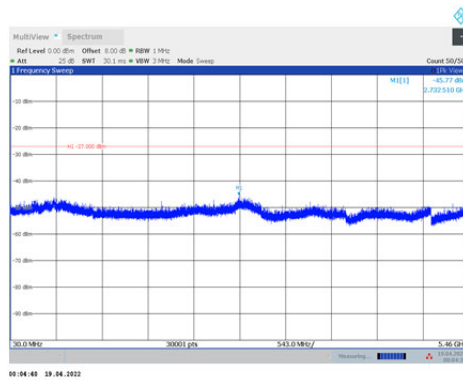
11A-CDD_Ant1_5580_30~5460



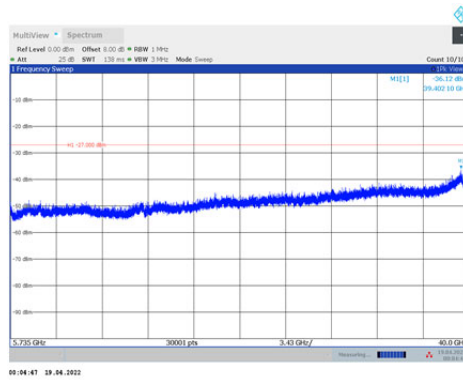
11A-CDD_Ant1_5580_5735~40000



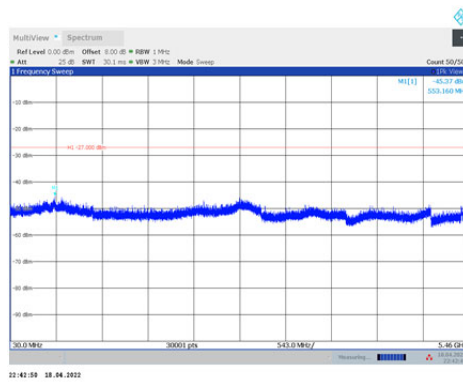
11A-CDD_Ant2_5580_30~5460



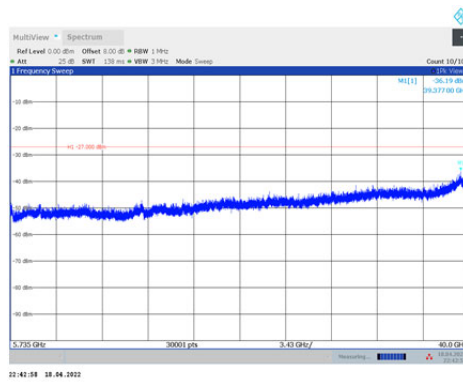
11A-CDD_Ant2_5580_5735~40000



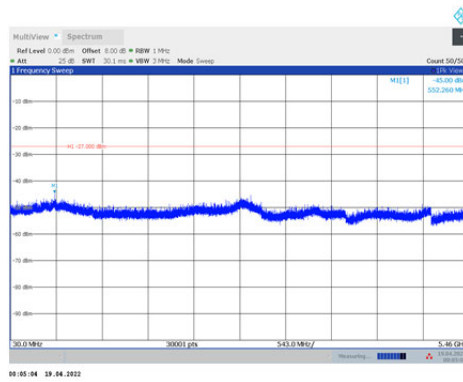
11A-CDD_Ant1_5680_30~5460



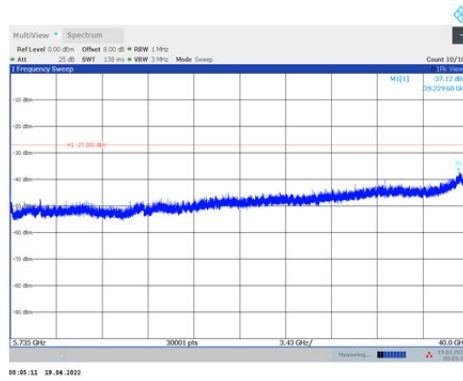
11A-CDD_Ant1_5680_5735~40000



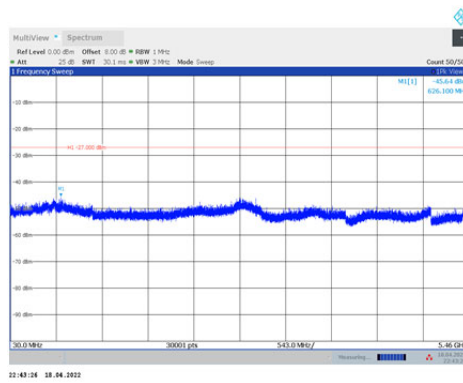
11A-CDD_Ant2_5680_30~5460



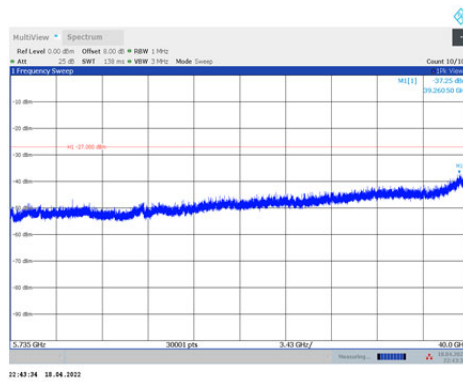
11A-CDD_Ant2_5680_5735~40000



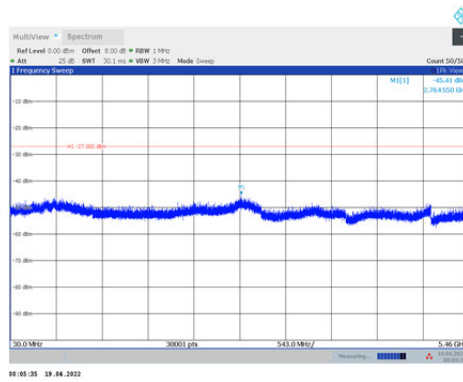
11A-CDD_Ant1_5700_30~5460



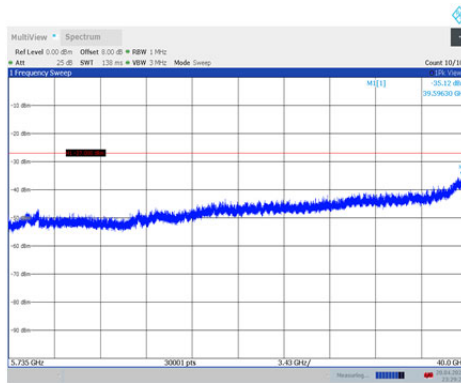
11A-CDD_Ant1_5700_5735~40000



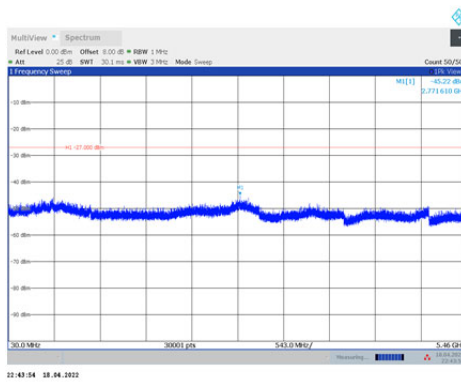
11A-CDD_Ant2_5700_30~5460



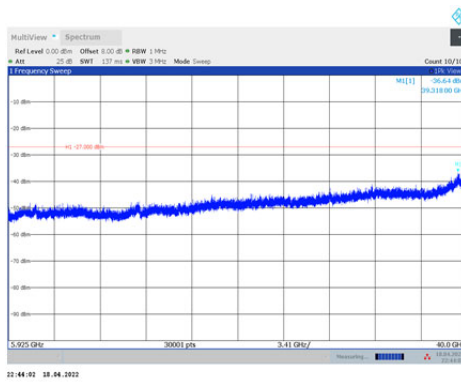
11A-CDD_Ant2_5700_5735~40000



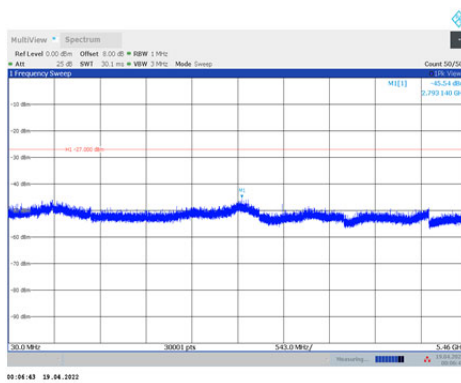
11A-CDD_Ant1_5720_30~5460



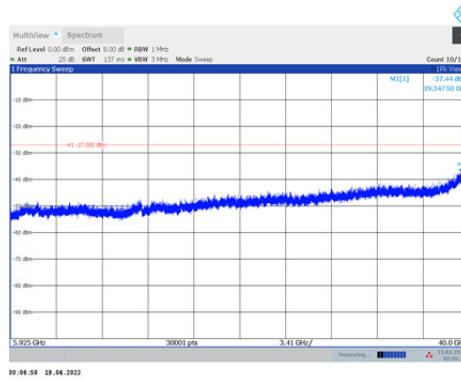
11A-CDD_Ant1_5720_5925~40000



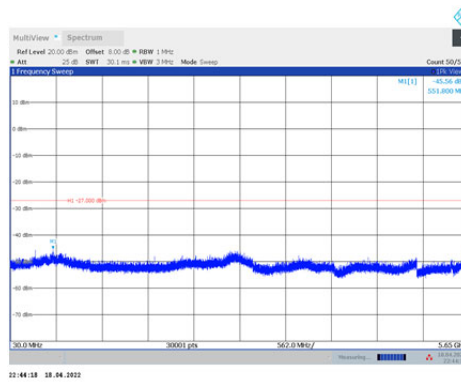
11A-CDD_Ant2_5720_30~5460



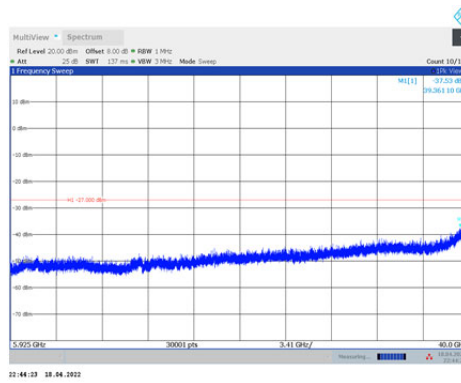
11A-CDD_Ant2_5720_5925~40000



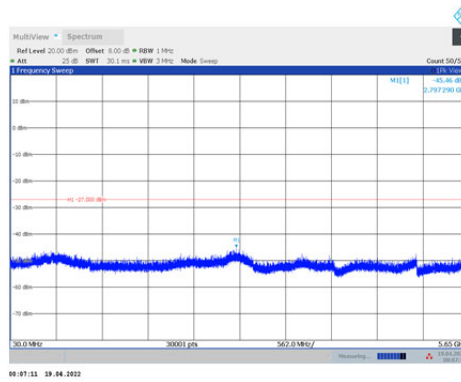
11A-CDD_Ant1_5745_30~5650



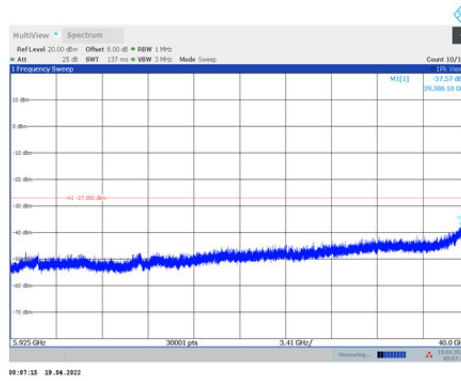
11A-CDD_Ant1_5745_5925~40000



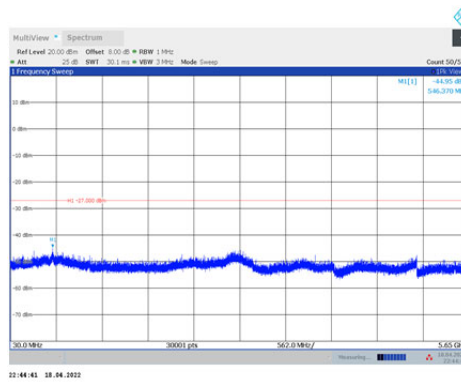
11A-CDD_Ant2_5745_30~5650



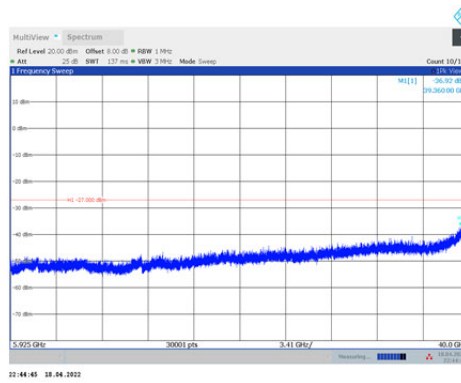
11A-CDD_Ant2_5745_5925~40000



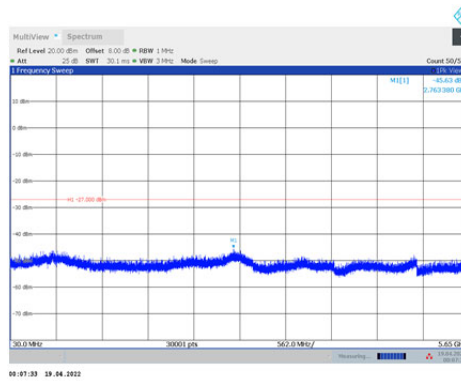
11A-CDD_Ant1_5785_30~5650



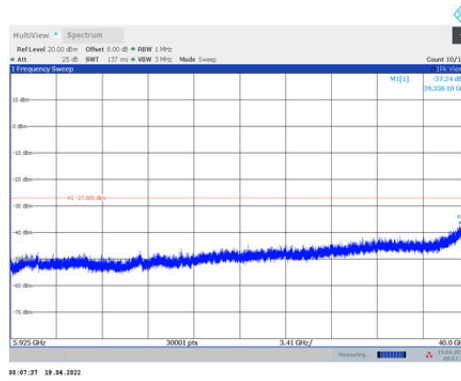
11A-CDD_Ant1_5785_5925~40000



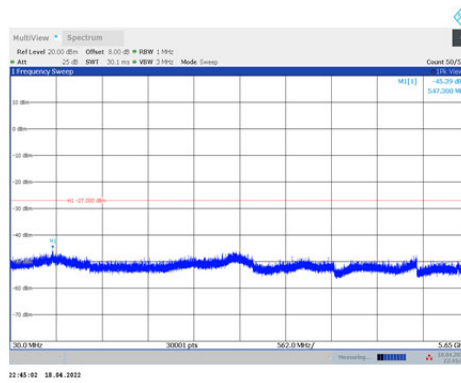
11A-CDD_Ant2_5785_30~5650



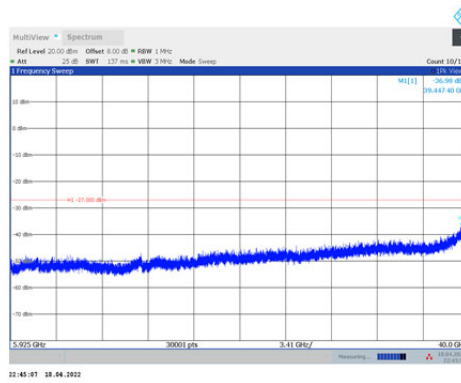
11A-CDD_Ant2_5785_5925~40000



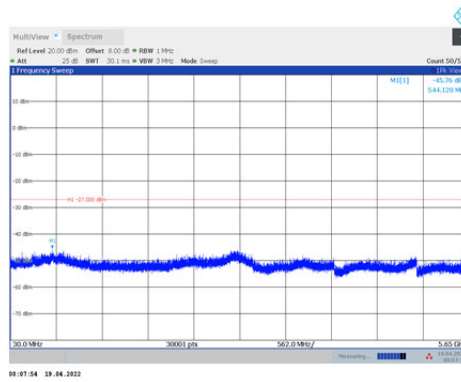
11A-CDD_Ant1_5825_30~5650



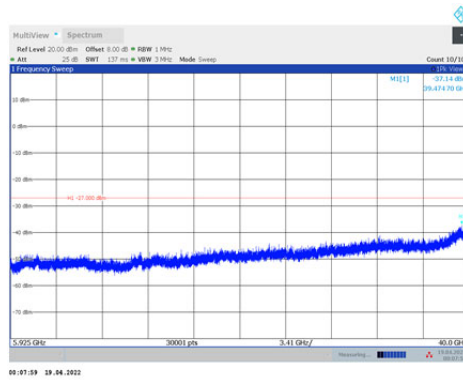
11A-CDD_Ant1_5825_5925~40000



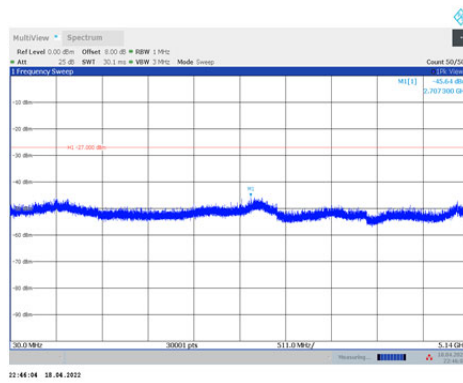
11A-CDD_Ant2_5825_30~5650



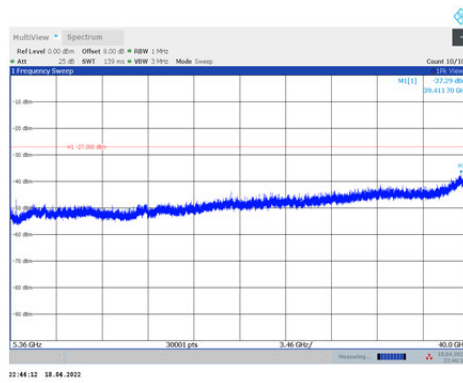
11A-CDD_Ant2_5825_5925~40000



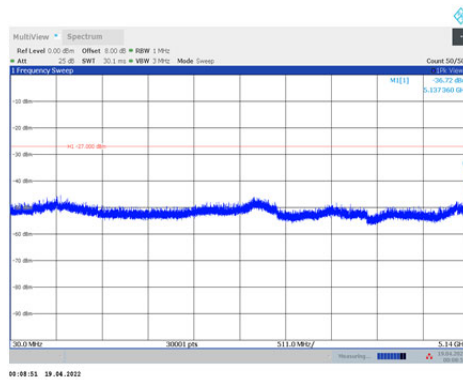
11N20MIMO_Ant1_5180_30~5140



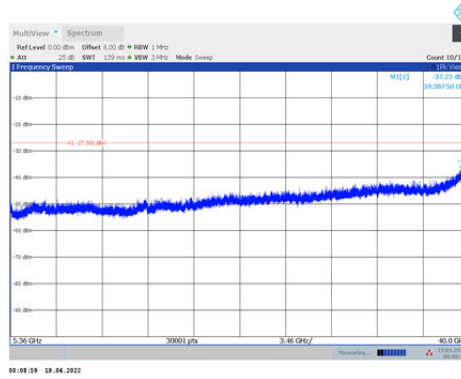
11N20MIMO_Ant1_5180_5360~40000



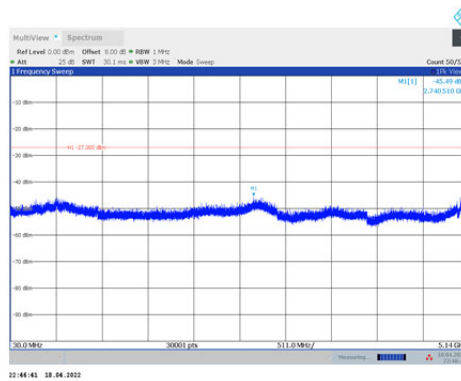
11N20MIMO_Ant2_5180_30~5140



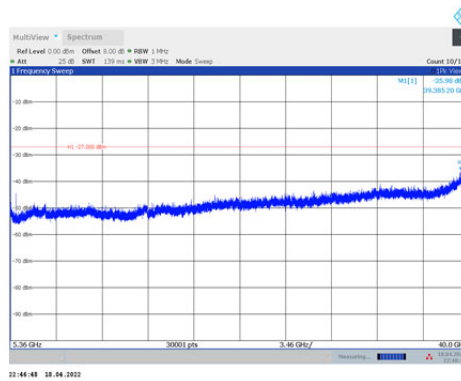
11N20MIMO_Ant2_5180_5360~40000



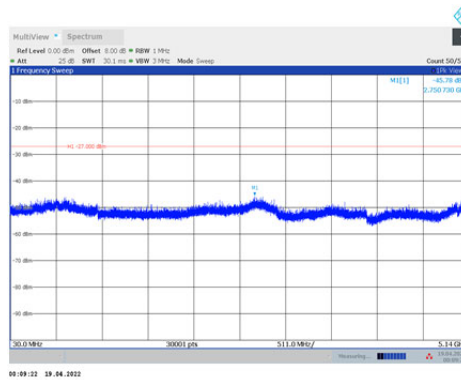
11N20MIMO_Ant1_5200_30~5140



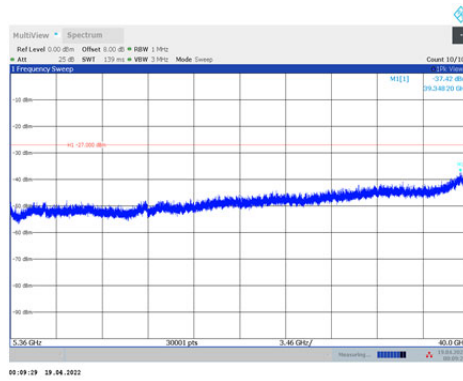
11N20MIMO_Ant1_5200_5360~40000



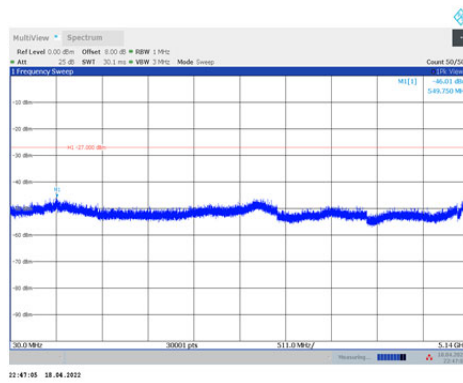
11N20MIMO_Ant2_5200_30~5140



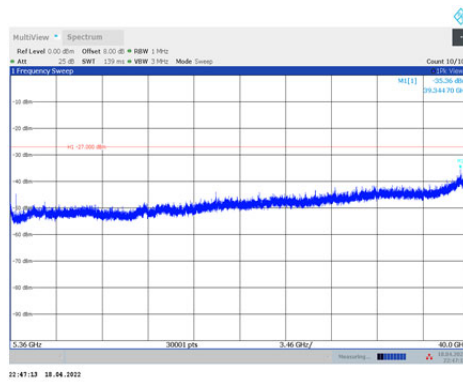
11N20MIMO_Ant2_5200_5360~40000



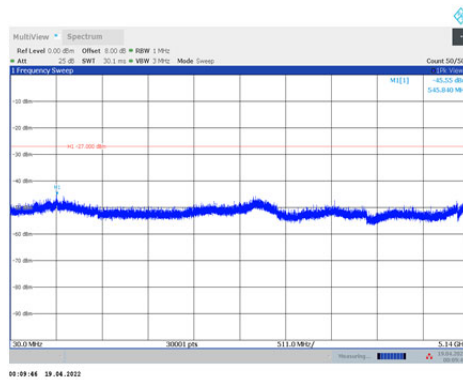
11N20MIMO_Ant1_5220_30~5140



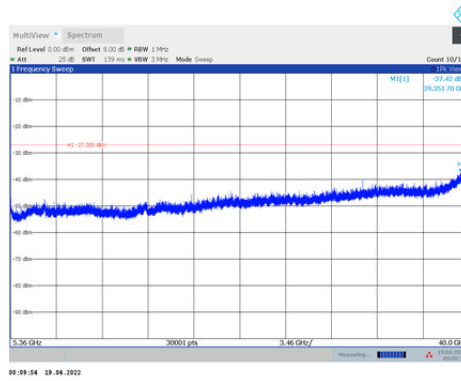
11N20MIMO_Ant1_5220_5360~40000



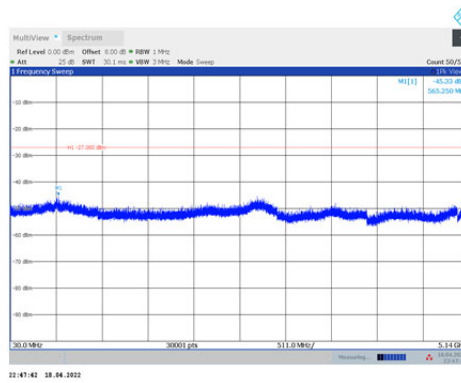
11N20MIMO_Ant2_5220_30~5140



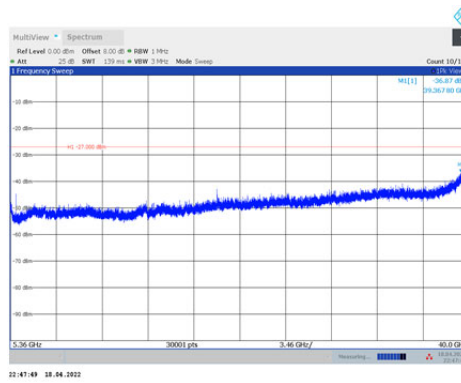
11N20MIMO_Ant2_5220_5360~40000



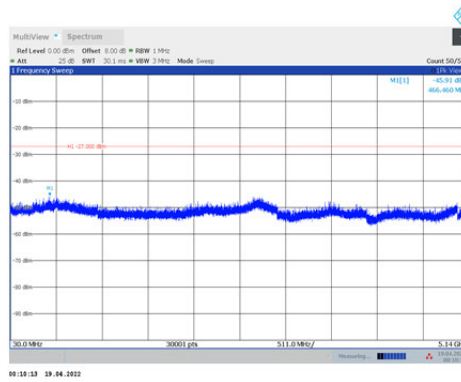
11N20MIMO_Ant1_5240_30~5140



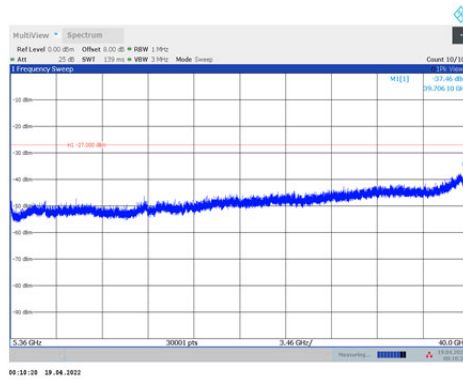
11N20MIMO_Ant1_5240_5360~40000



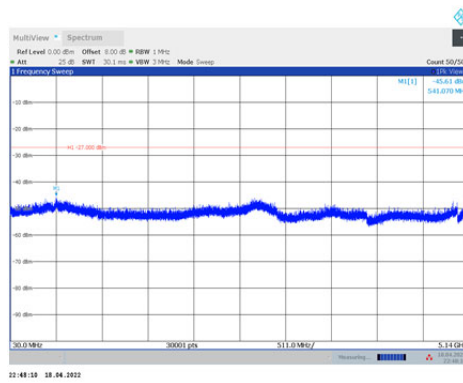
11N20MIMO_Ant2_5240_30~5140



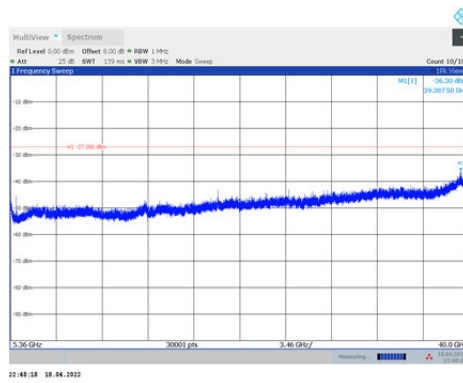
11N20MIMO_Ant2_5240_5360~40000



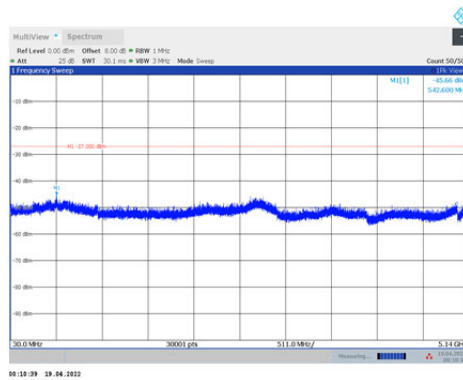
11N20MIMO_Ant1_5260_30~5140



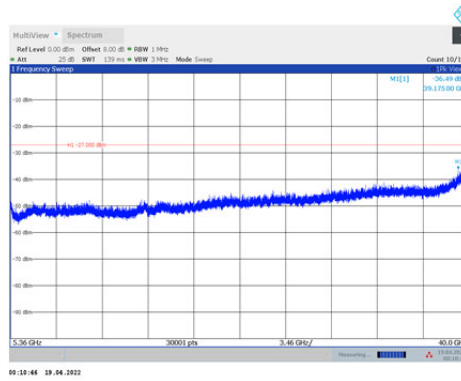
11N20MIMO_Ant1_5260_5360~40000



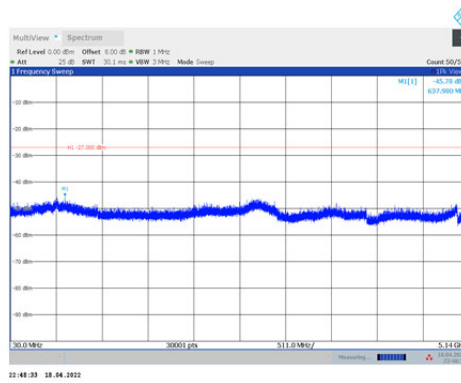
11N20MIMO_Ant2_5260_30~5140



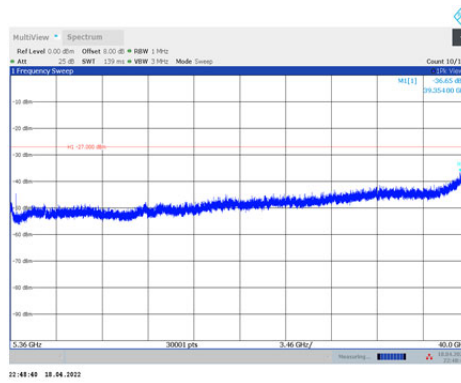
11N20MIMO_Ant2_5260_5360~40000



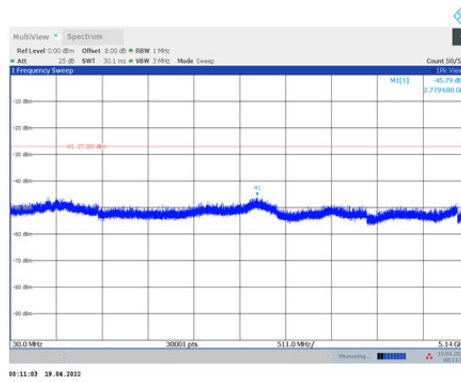
11N20MIMO_Ant1_5300_30~5140



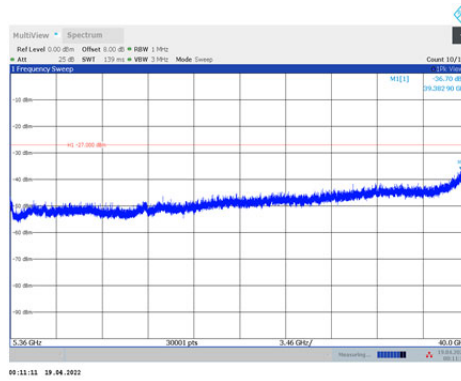
11N20MIMO_Ant1_5300_5360~40000



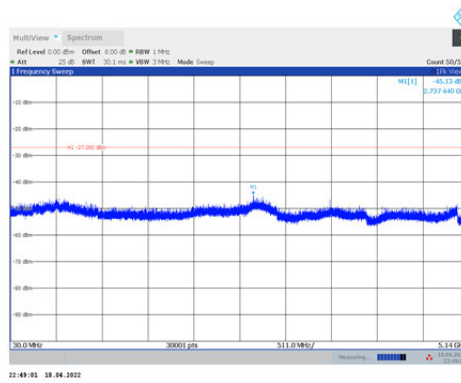
11N20MIMO_Ant2_5300_30~5140



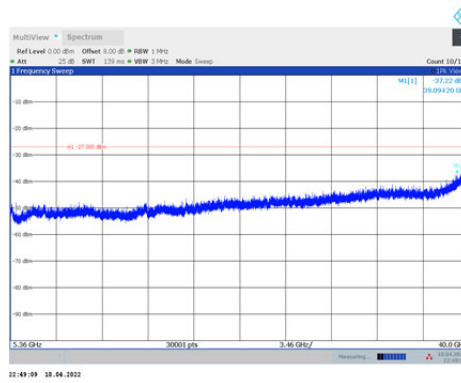
11N20MIMO_Ant2_5300_5360~40000



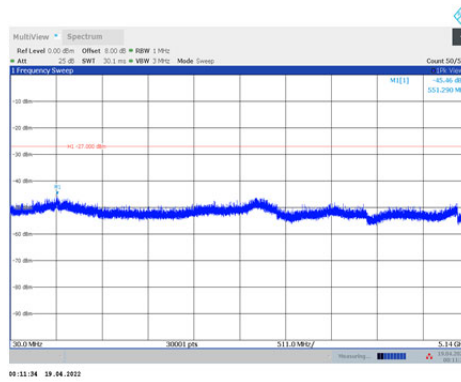
11N20MIMO_Ant1_5320_30~5140



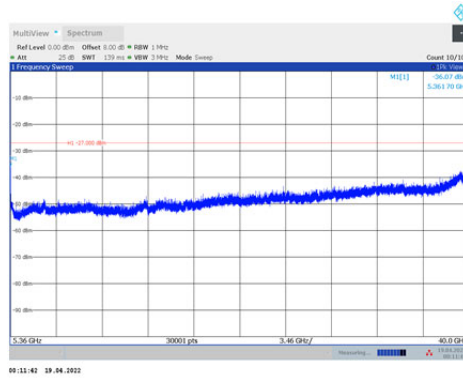
11N20MIMO_Ant1_5320_5360~40000



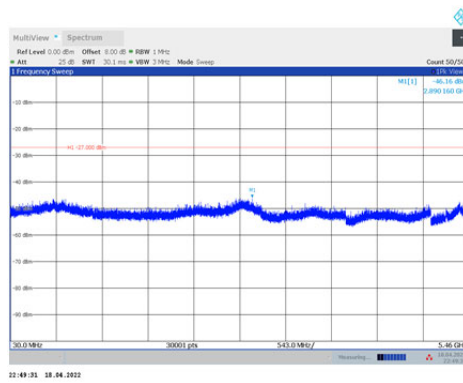
11N20MIMO_Ant2_5320_30~5140



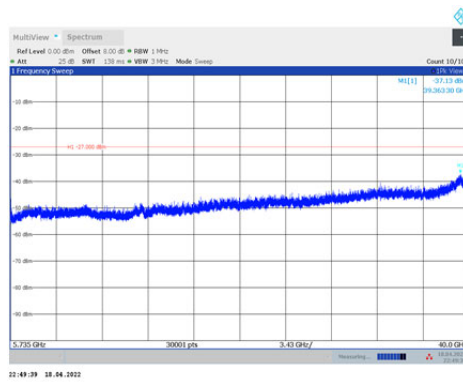
11N20MIMO_Ant2_5320_5360~40000



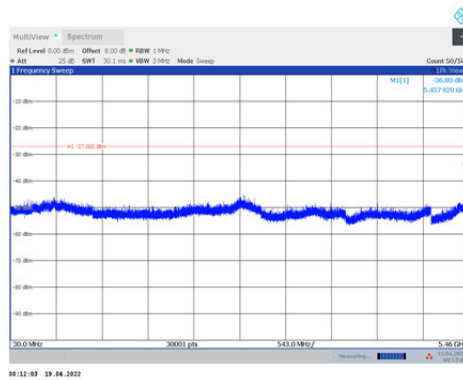
11N20MIMO_Ant1_5500_30~5460



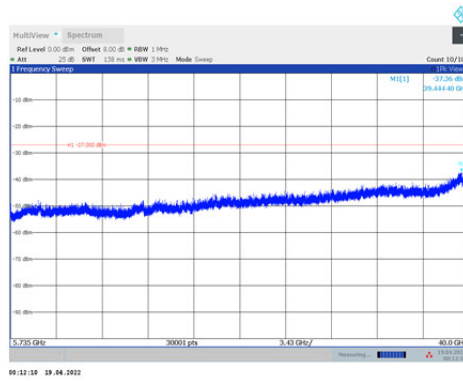
11N20MIMO_Ant1_5500_5735~40000



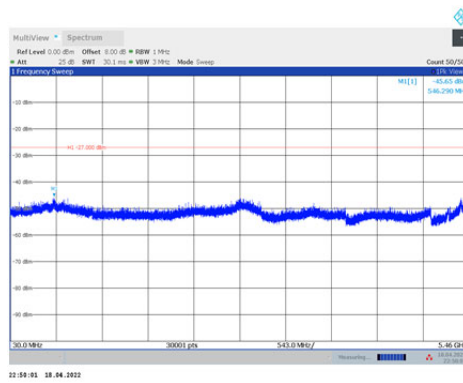
11N20MIMO_Ant2_5500_30~5460



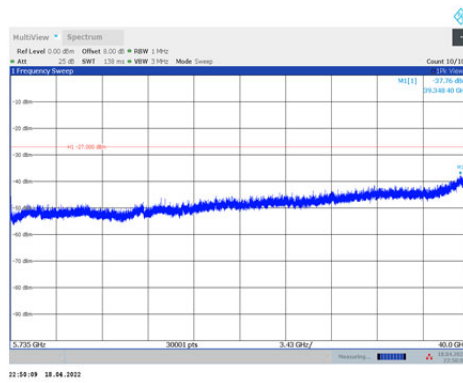
11N20MIMO_Ant2_5500_5735~40000



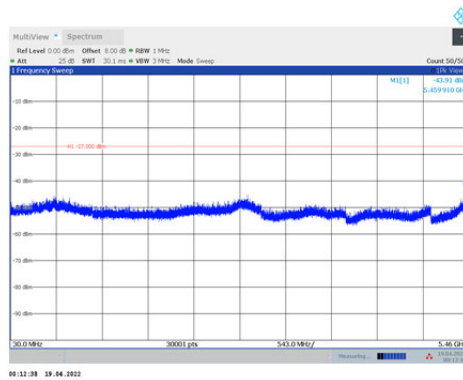
11N20MIMO_Ant1_5520_30~5460



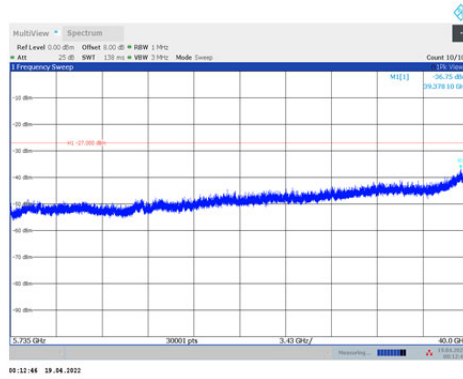
11N20MIMO_Ant1_5520_5735~40000



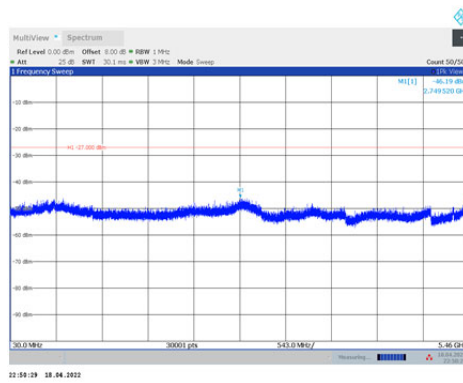
11N20MIMO_Ant2_5520_30~5460



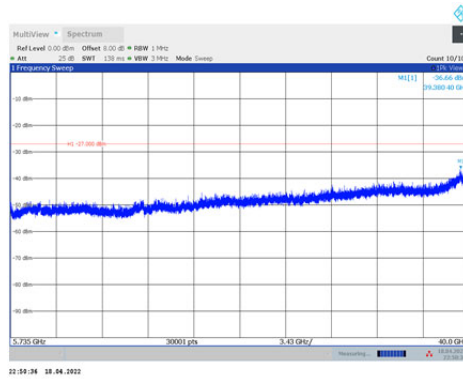
11N20MIMO_Ant2_5520_5735~40000



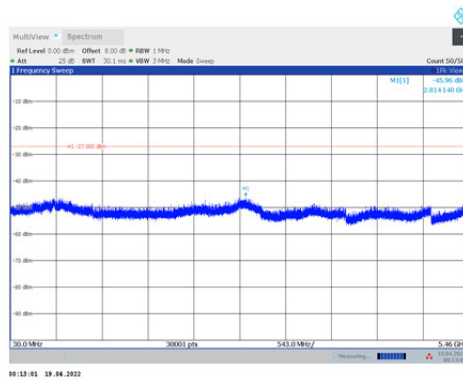
11N20MIMO_Ant1_5580_30~5460



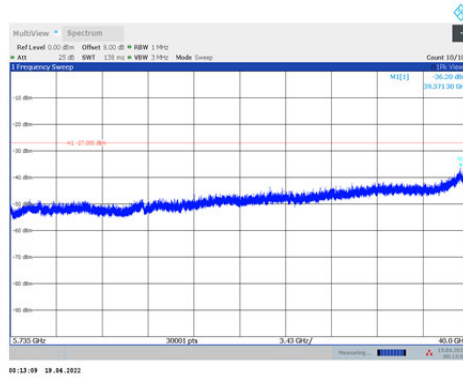
11N20MIMO_Ant1_5580_5735~40000



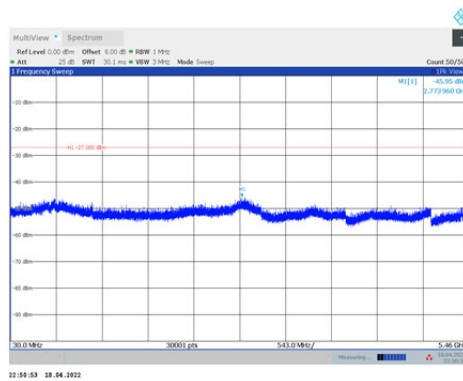
11N20MIMO_Ant2_5580_30~5460



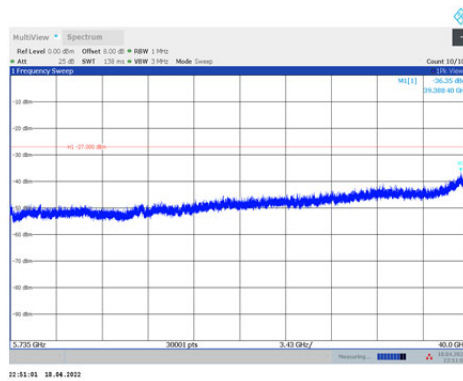
11N20MIMO_Ant2_5580_5735~40000



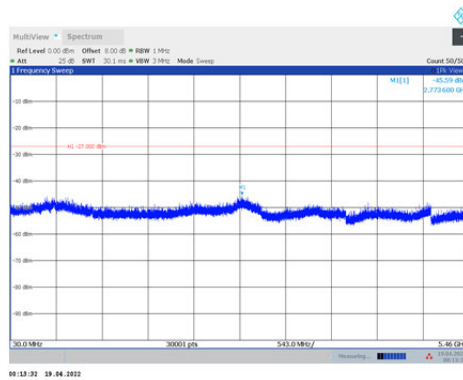
11N20MIMO_Ant1_5680_30~5460



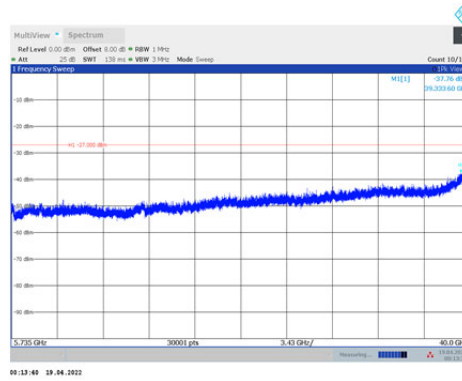
11N20MIMO_Ant1_5680_5735~40000



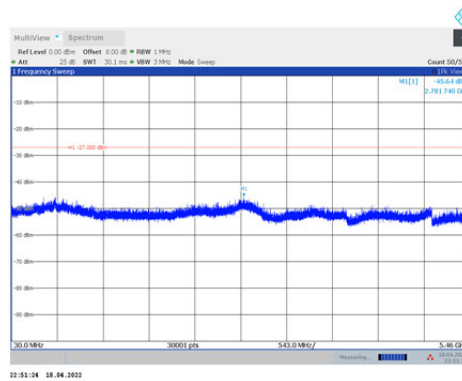
11N20MIMO_Ant2_5680_30~5460



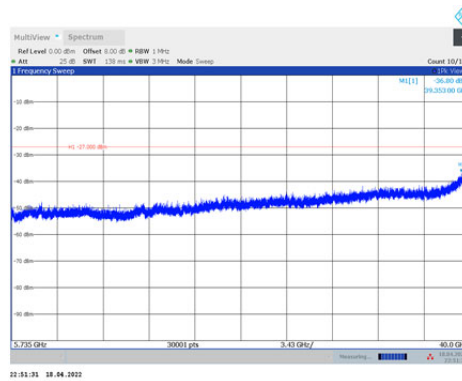
11N20MIMO_Ant2_5680_5735~40000



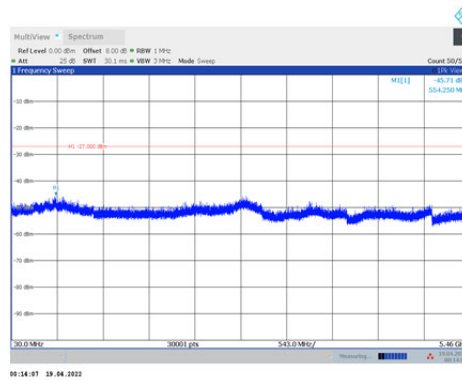
11N20MIMO_Ant1_5700_30~5460



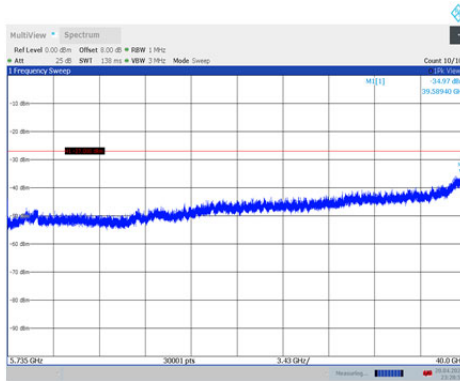
11N20MIMO_Ant1_5700_5735~40000



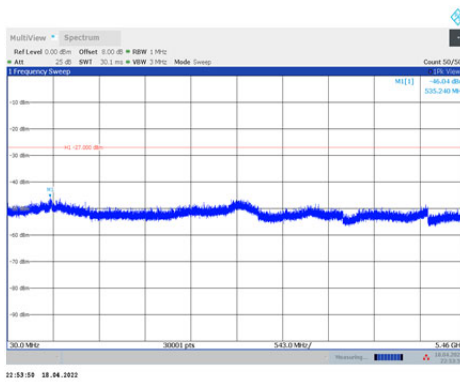
11N20MIMO_Ant2_5700_30~5460



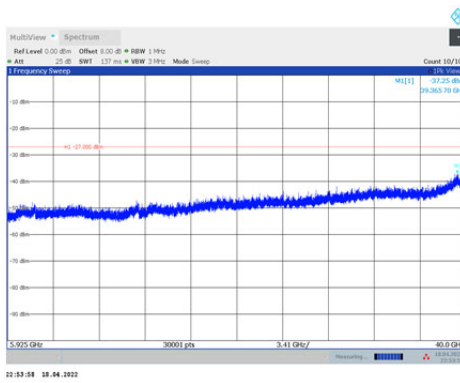
11N20MIMO_Ant2_5700_5735~40000



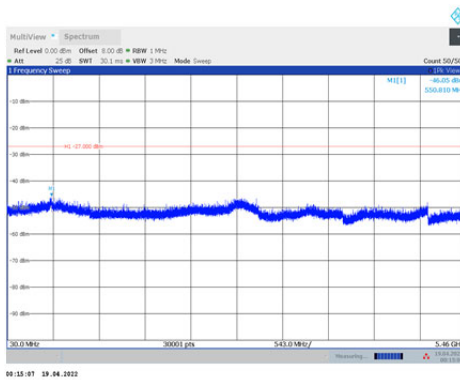
11N20MIMO_Ant1_5720_30~5460



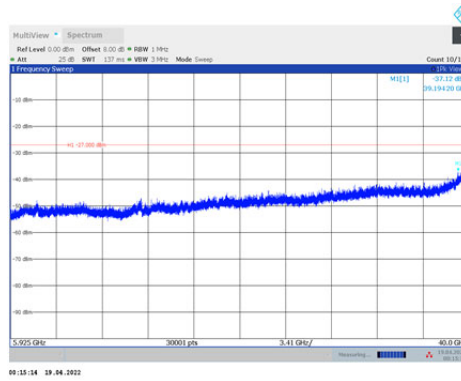
11N20MIMO_Ant1_5720_5925~40000



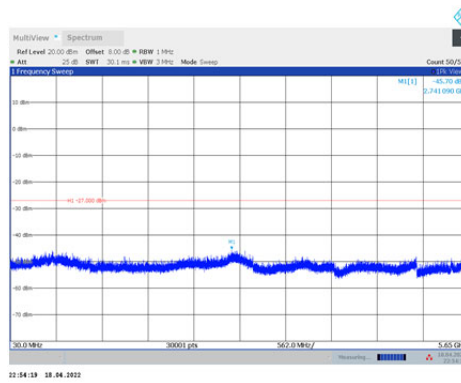
11N20MIMO_Ant2_5720_30~5460



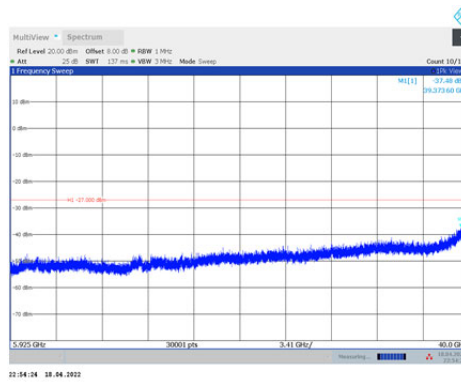
11N20MIMO_Ant2_5720_5925~40000



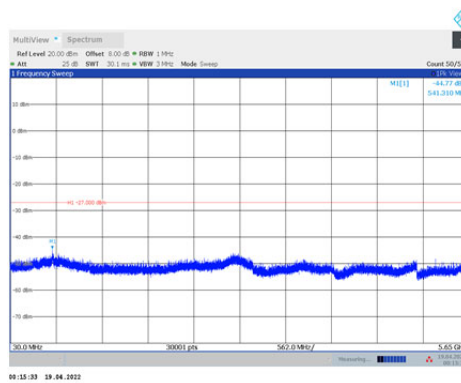
11N20MIMO_Ant1_5745_30~5650



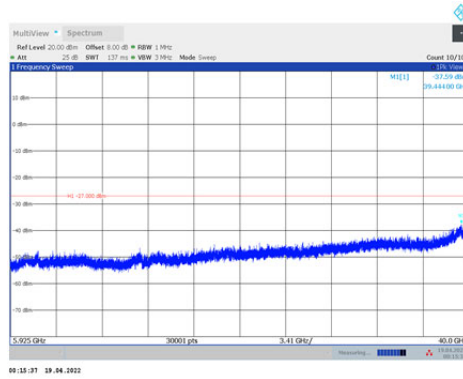
11N20MIMO_Ant1_5745_5925~40000



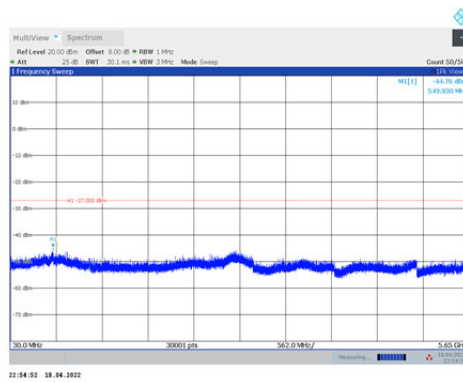
11N20MIMO_Ant2_5745_30~5650



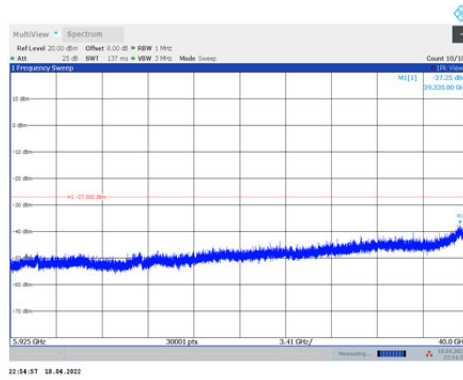
11N20MIMO_Ant2_5745_5925~40000



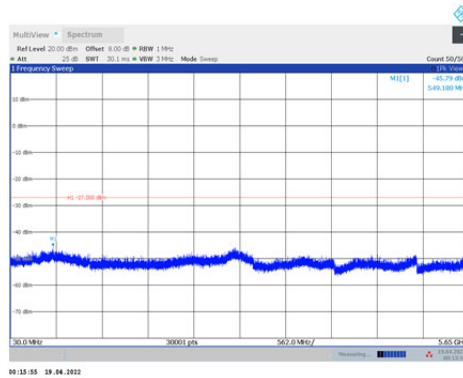
11N20MIMO_Ant1_5785_30~5650



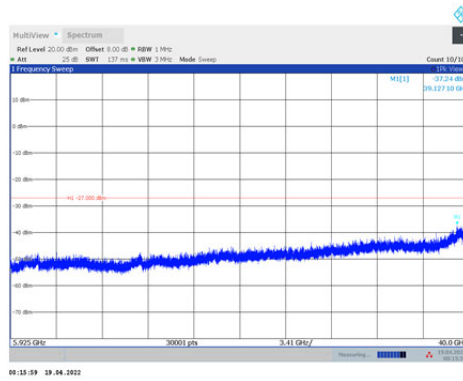
11N20MIMO_Ant1_5785_5925~40000



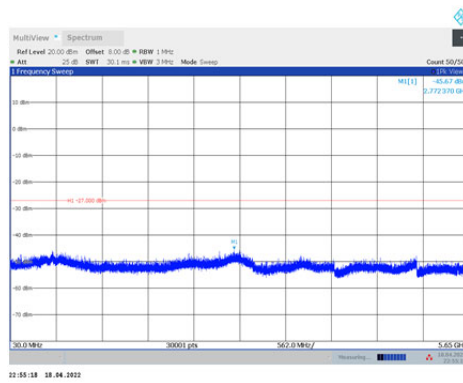
11N20MIMO_Ant2_5785_30~5650



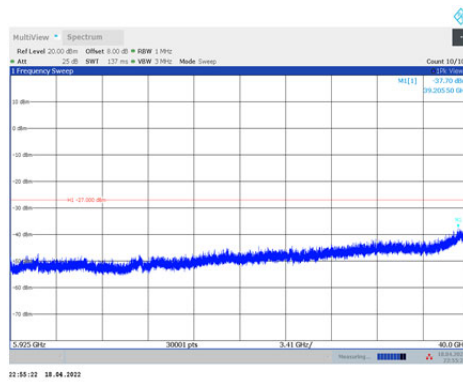
11N20MIMO_Ant2_5785_5925~40000



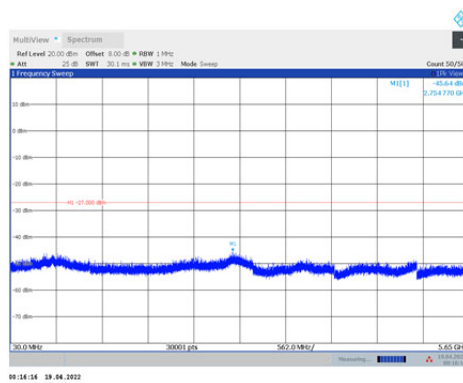
11N20MIMO_Ant1_5825_30~5650



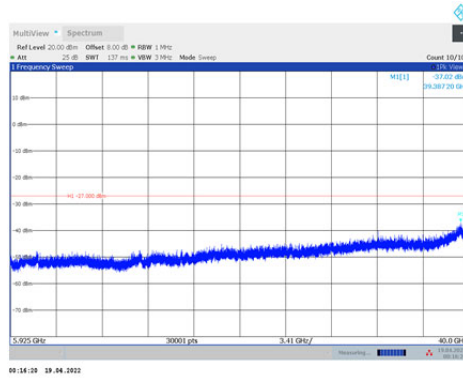
11N20MIMO_Ant1_5825_5925~40000



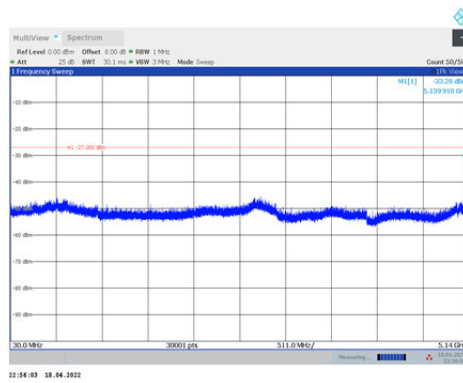
11N20MIMO_Ant2_5825_30~5650



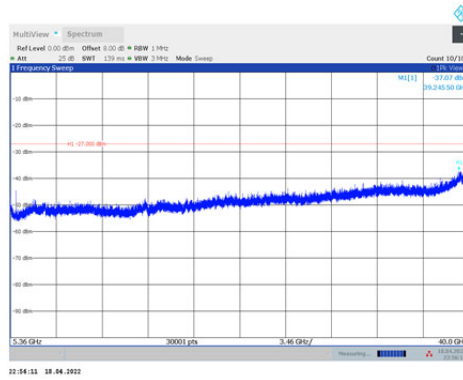
11N20MIMO_Ant2_5825_5925~40000



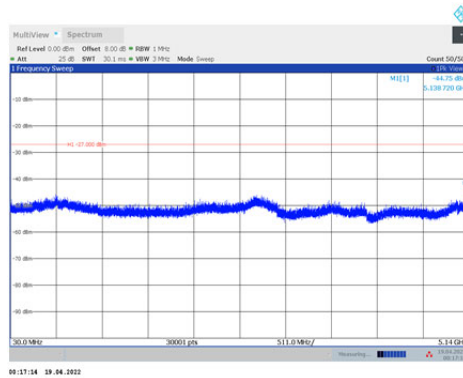
11N40MIMO_Ant1_5190_30~5140



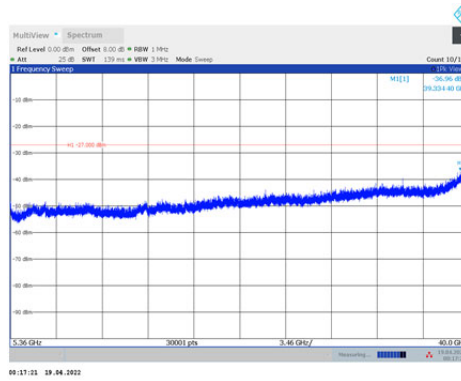
11N40MIMO_Ant1_5190_5360~40000



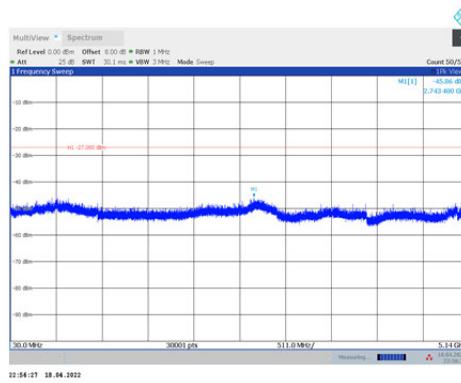
11N40MIMO_Ant2_5190_30~5140



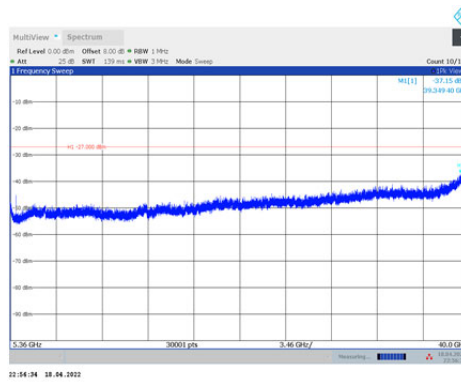
11N40MIMO_Ant2_5190_5360~40000



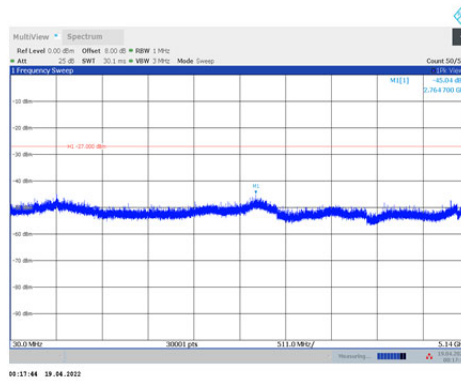
11N40MIMO_Ant1_5230_30~5140



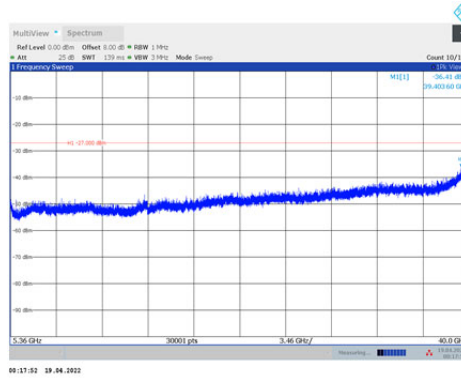
11N40MIMO_Ant1_5230_5360~40000



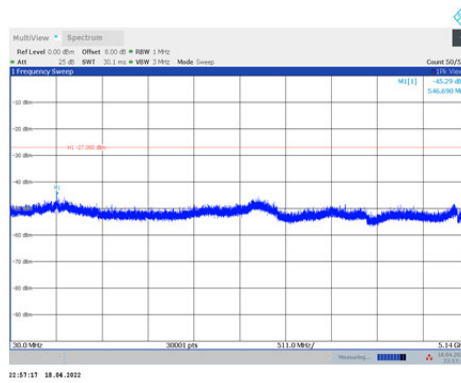
11N40MIMO_Ant2_5230_30~5140



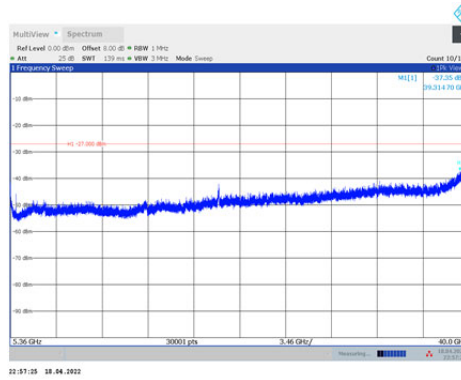
11N40MIMO_Ant2_5230_5360~40000



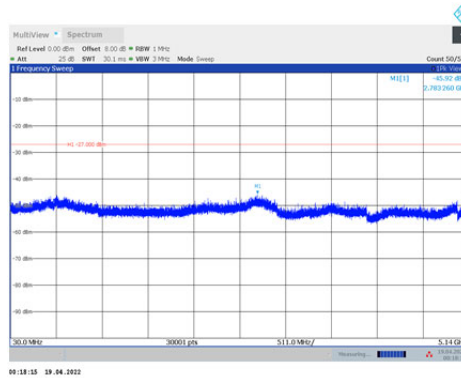
11N40MIMO_Ant1_5270_30~5140



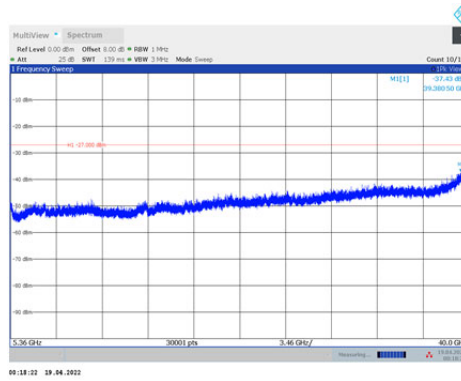
11N40MIMO_Ant1_5270_5360~40000



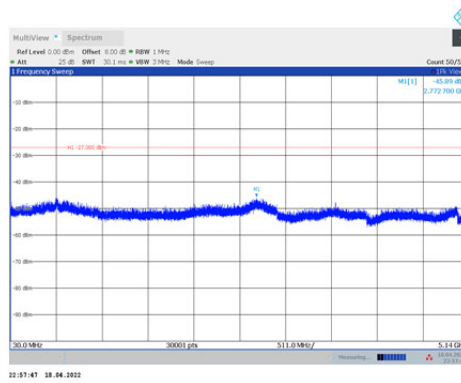
11N40MIMO_Ant2_5270_30~5140



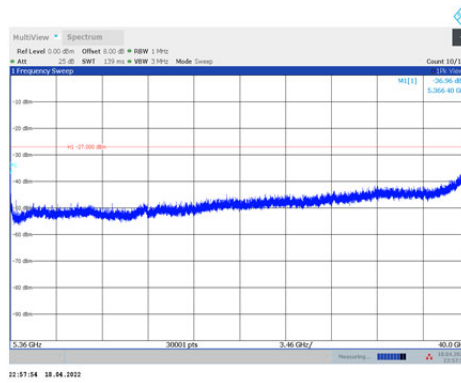
11N40MIMO_Ant2_5270_5360~40000



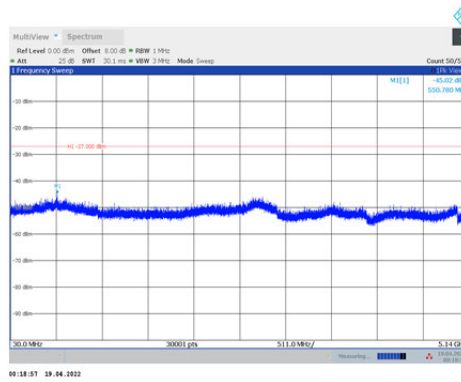
11N40MIMO_Ant1_5310_30~5140



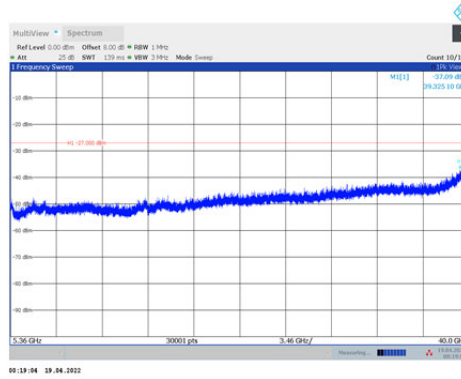
11N40MIMO_Ant1_5310_5360~40000



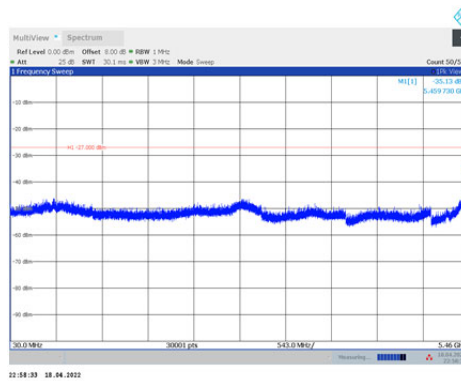
11N40MIMO_Ant2_5310_30~5140



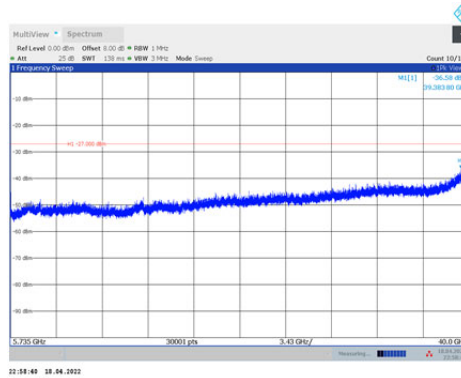
11N40MIMO_Ant2_5310_5360~40000



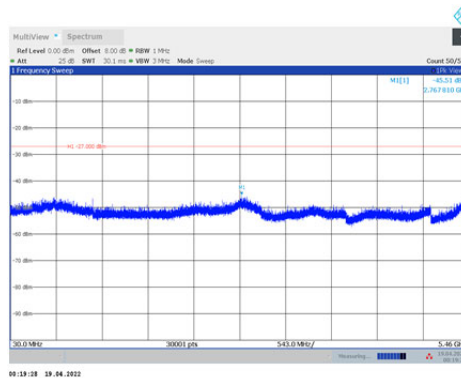
11N40MIMO_Ant1_5510_30~5460



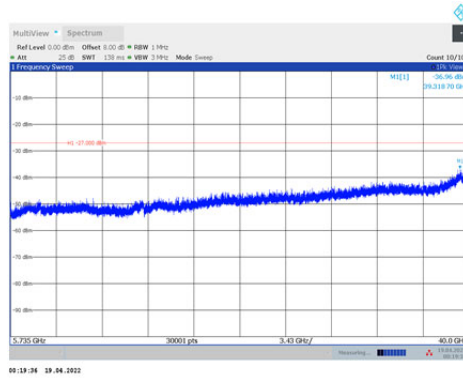
11N40MIMO_Ant1_5510_5735~40000



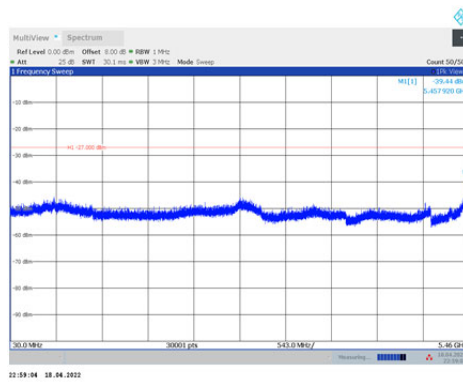
11N40MIMO_Ant2_5510_30~5460



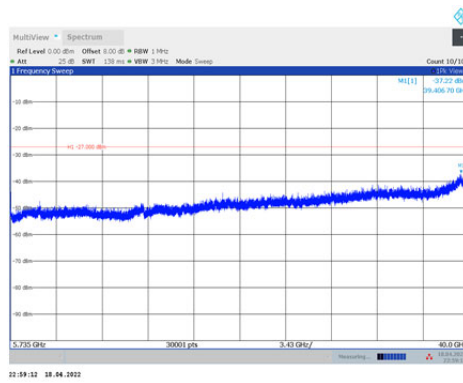
11N40MIMO_Ant2_5510_5735~40000



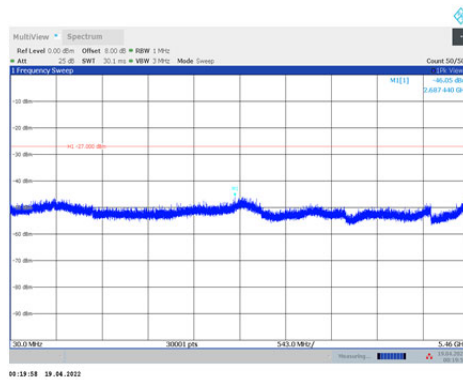
11N40MIMO_Ant1_5550_30~5460



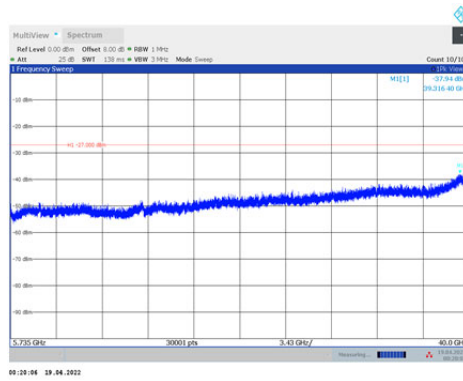
11N40MIMO_Ant1_5550_5735~40000



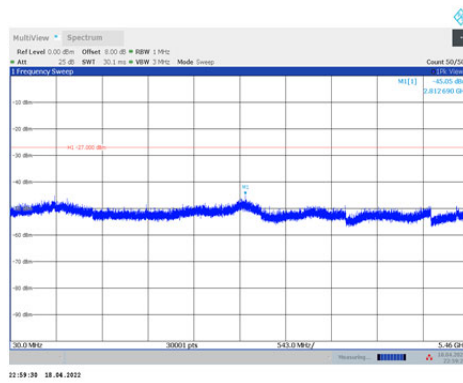
11N40MIMO_Ant2_5550_30~5460



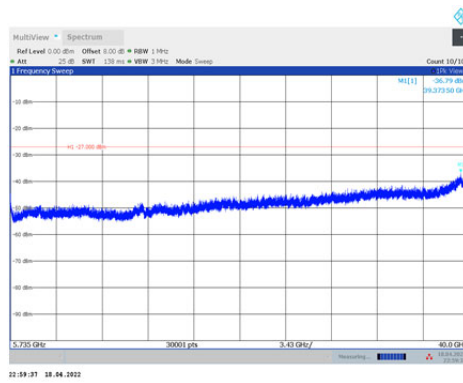
11N40MIMO_Ant2_5550_5735~40000



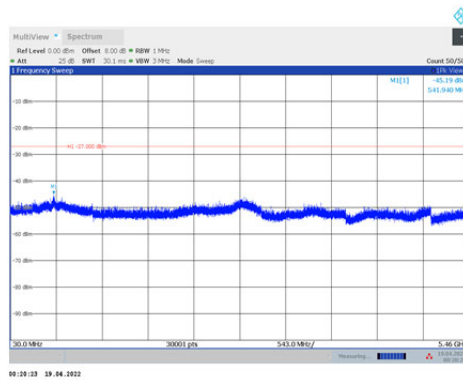
11N40MIMO_Ant1_5630_30~5460



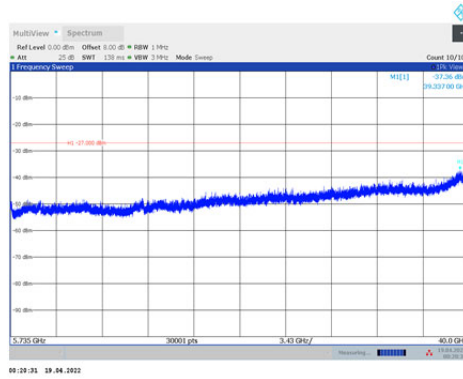
11N40MIMO_Ant1_5630_5735~40000



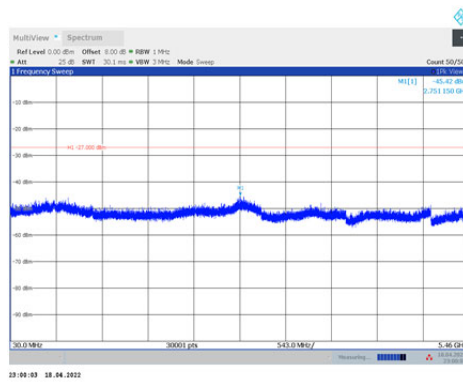
11N40MIMO_Ant2_5630_30~5460



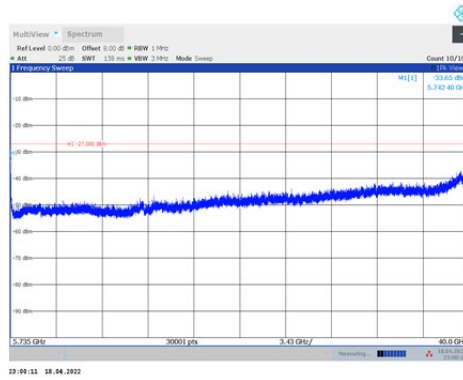
11N40MIMO_Ant2_5630_5735~40000



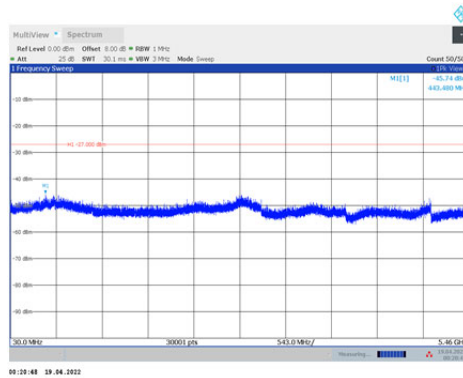
11N40MIMO_Ant1_5670_30~5460



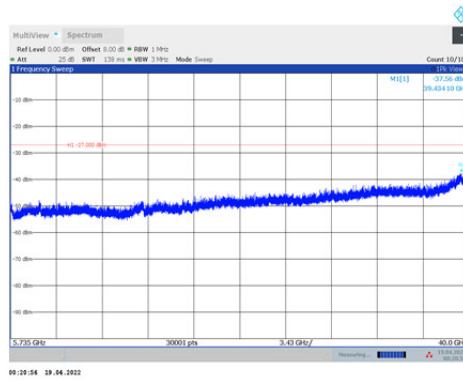
11N40MIMO_Ant1_5670_5735~40000



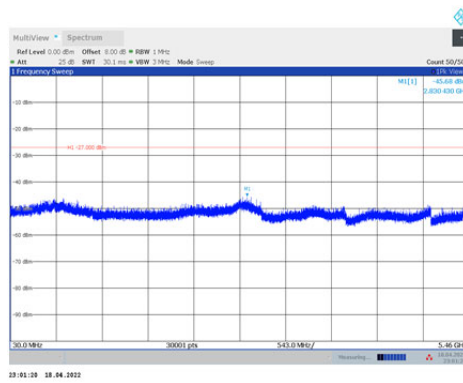
11N40MIMO_Ant2_5670_30~5460



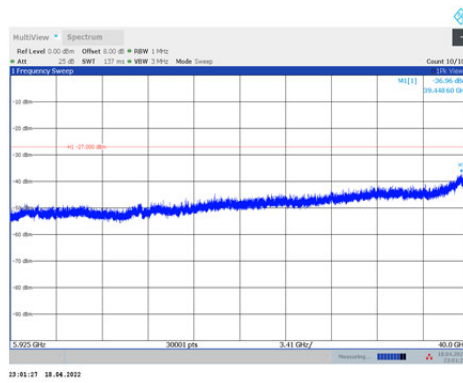
11N40MIMO_Ant2_5670_5735~40000



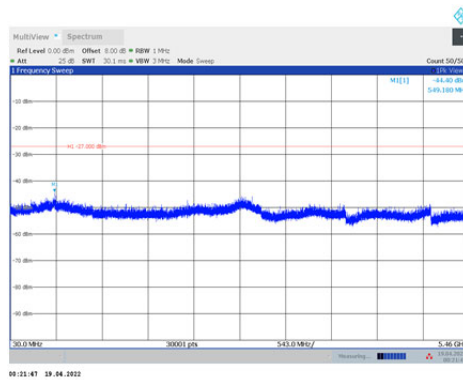
11N40MIMO_Ant1_5710_30~5460



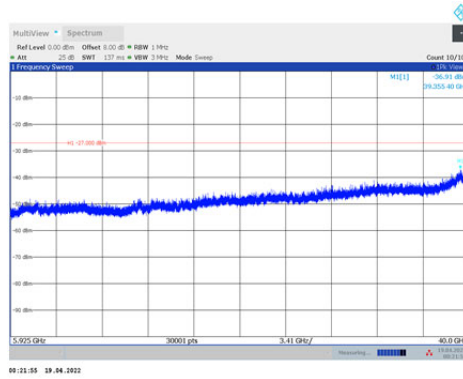
11N40MIMO_Ant1_5710_5925~40000



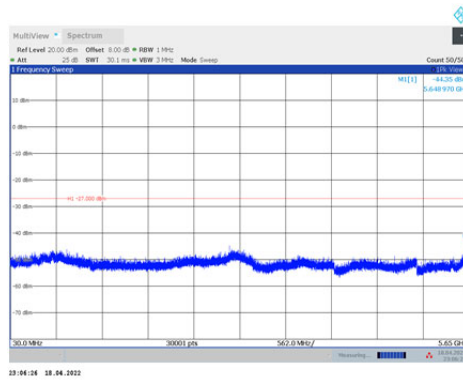
11N40MIMO_Ant2_5710_30~5460



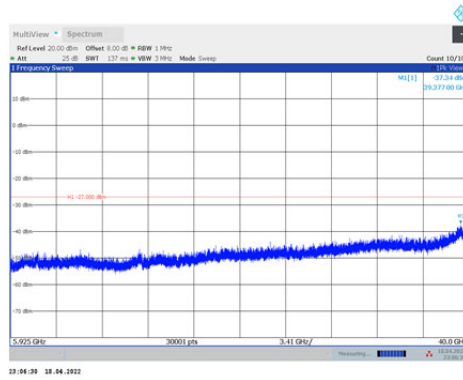
11N40MIMO_Ant2_5710_5925~40000



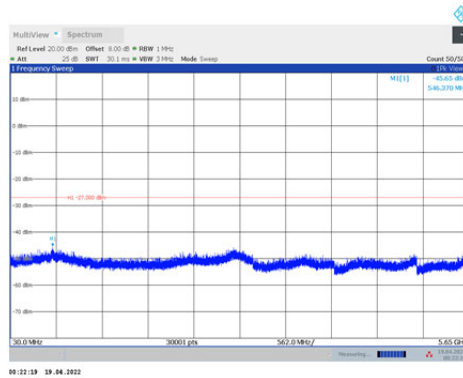
11N40MIMO_Ant1_5755_30~5650



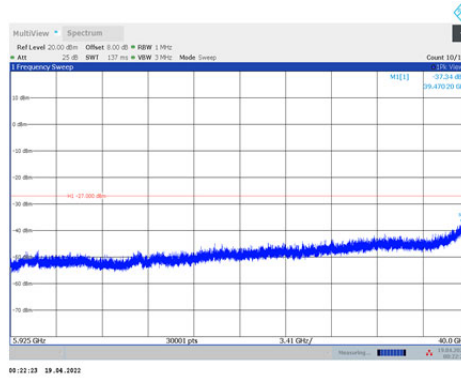
11N40MIMO_Ant1_5755_5925~40000



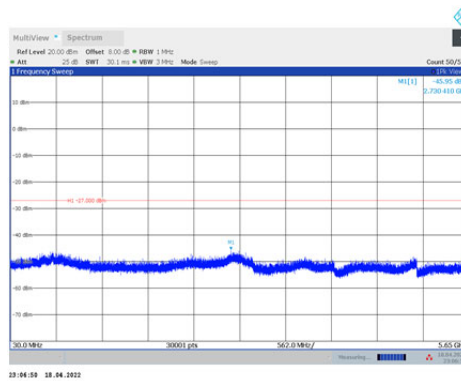
11N40MIMO_Ant2_5755_30~5650



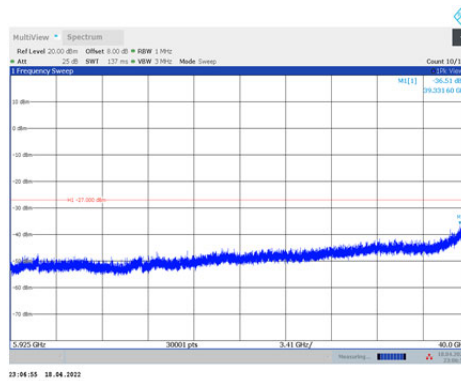
11N40MIMO_Ant2_5755_5925~40000



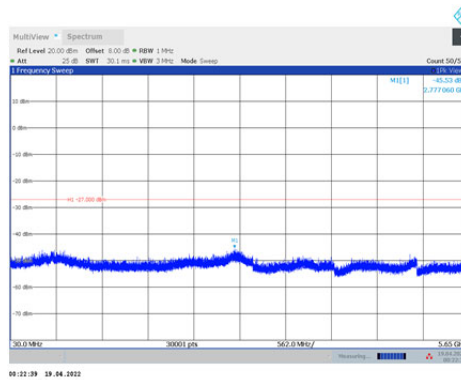
11N40MIMO_Ant1_5795_30~5650



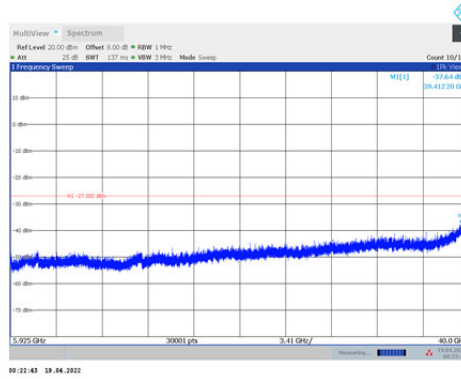
11N40MIMO_Ant1_5795_5925~40000



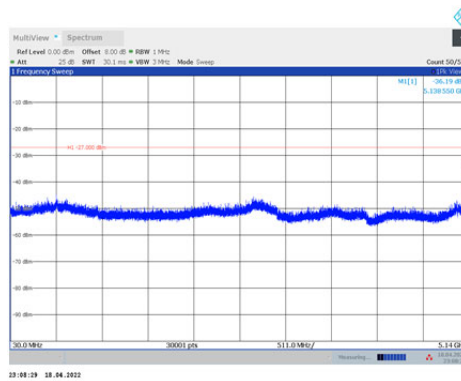
11N40MIMO_Ant2_5795_30~5650



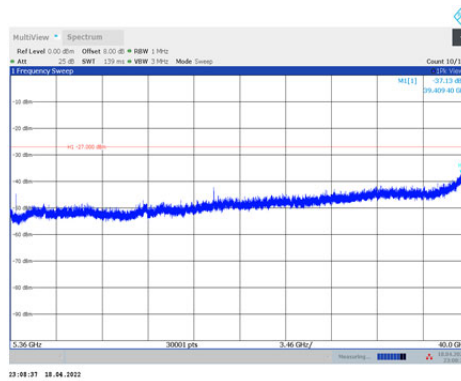
11N40MIMO_Ant2_5795_5925~40000



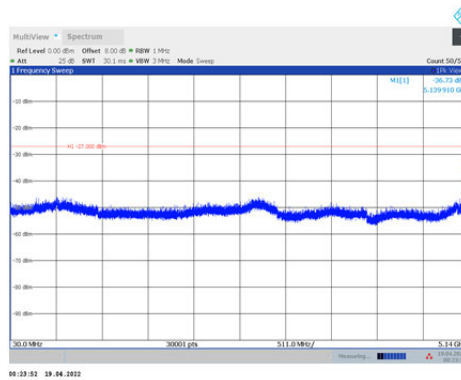
11AC20MIMO_Ant1_5180_30~5140



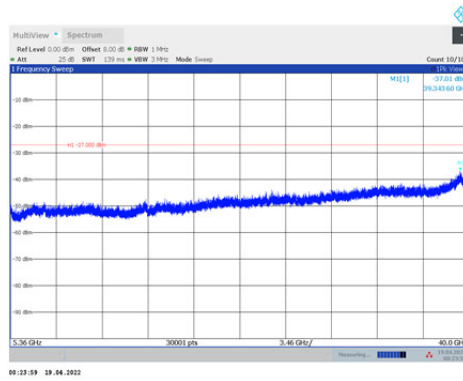
11AC20MIMO_Ant1_5180_5360~40000



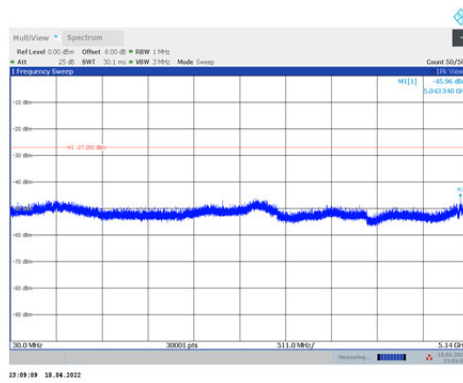
11AC20MIMO_Ant2_5180_30~5140



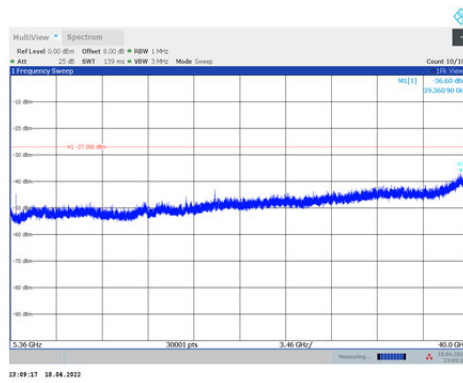
11AC20MIMO_Ant2_5180_5360~40000



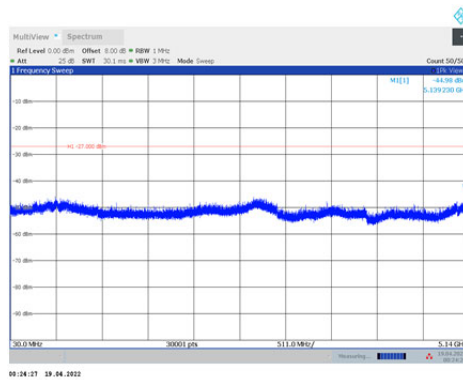
11AC20MIMO_Ant1_5200_30~5140



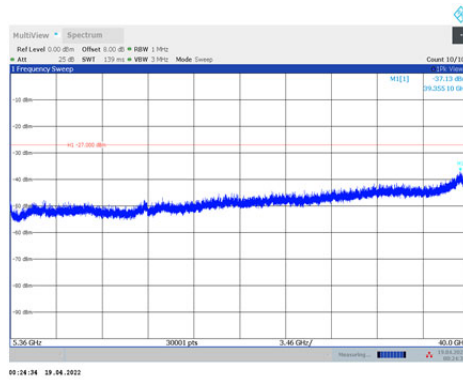
11AC20MIMO_Ant1_5200_5360~40000



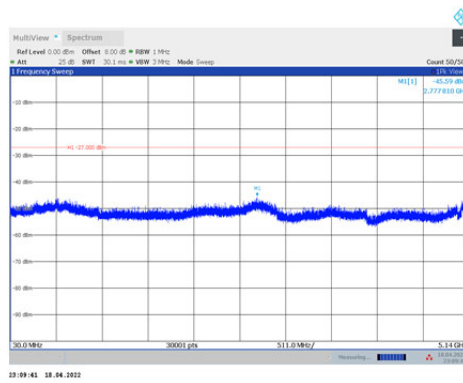
11AC20MIMO_Ant2_5200_30~5140



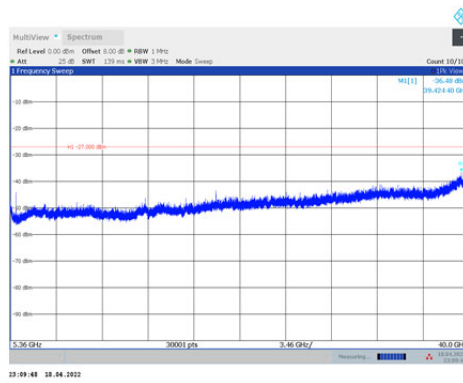
11AC20MIMO_Ant2_5200_5360~40000



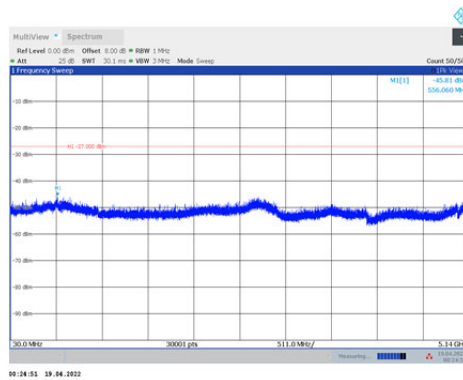
11AC20MIMO_Ant1_5220_30~5140



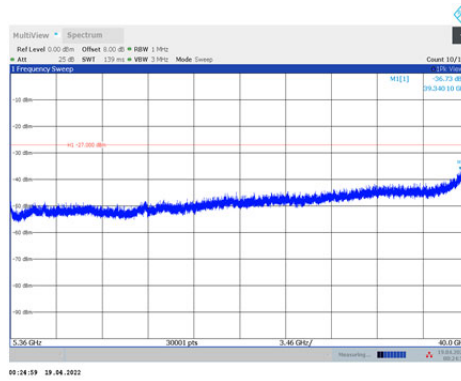
11AC20MIMO_Ant1_5220_5360~40000



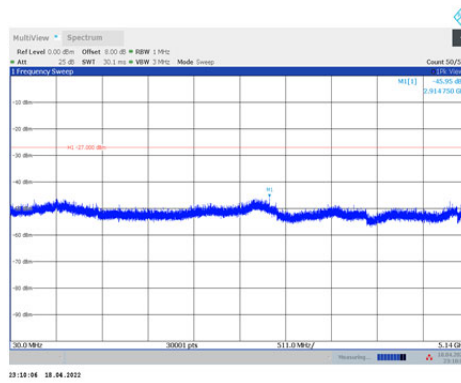
11AC20MIMO_Ant2_5220_30~5140



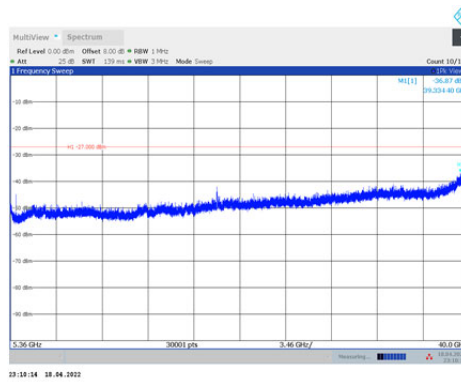
11AC20MIMO_Ant2_5220_5360~40000



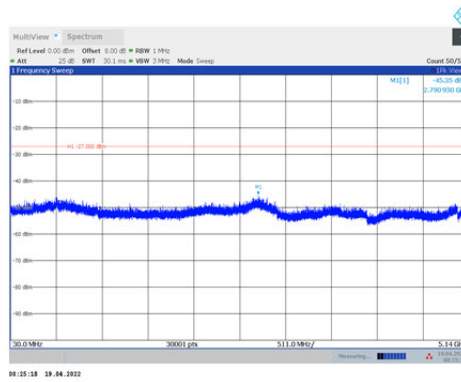
11AC20MIMO_Ant1_5240_30~5140



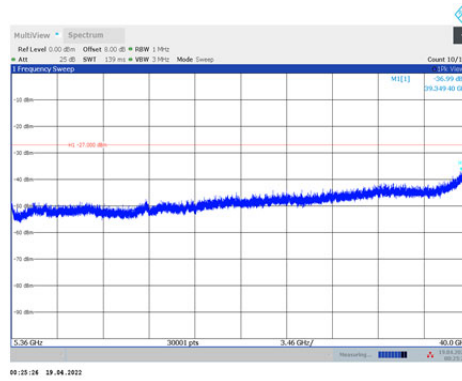
11AC20MIMO_Ant1_5240_5360~40000



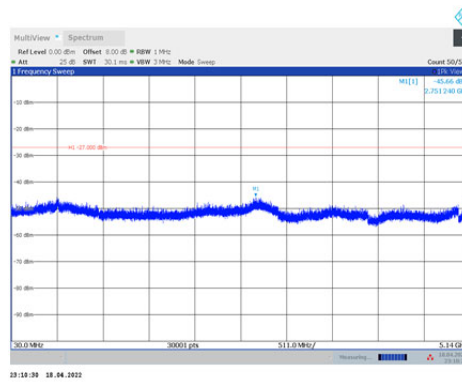
11AC20MIMO_Ant2_5240_30~5140



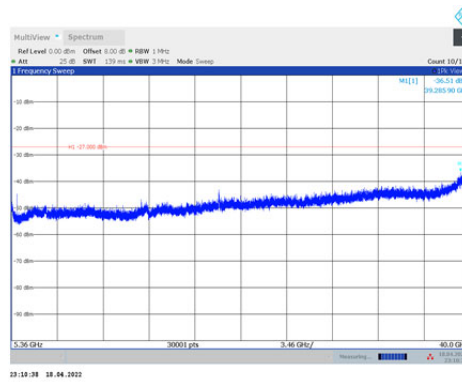
11AC20MIMO_Ant2_5240_5360~40000



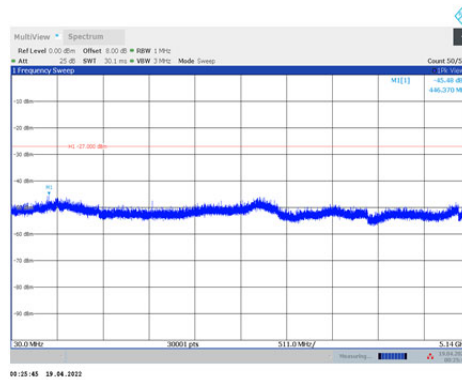
11AC20MIMO_Ant1_5260_30~5140



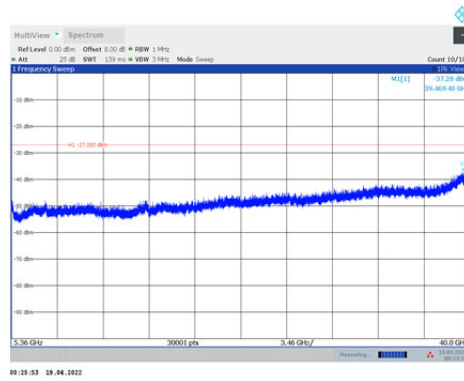
11AC20MIMO_Ant1_5260_5360~40000



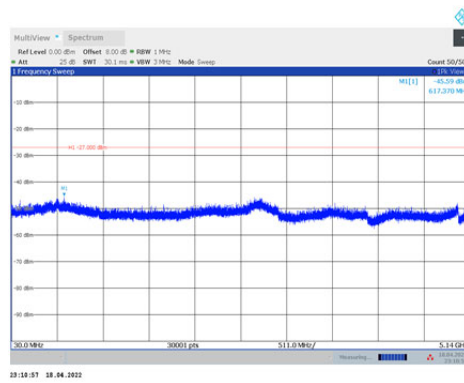
11AC20MIMO_Ant2_5260_30~5140



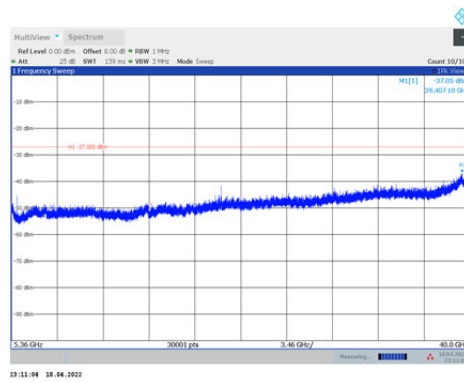
11AC20MIMO_Ant2_5260_5360~40000



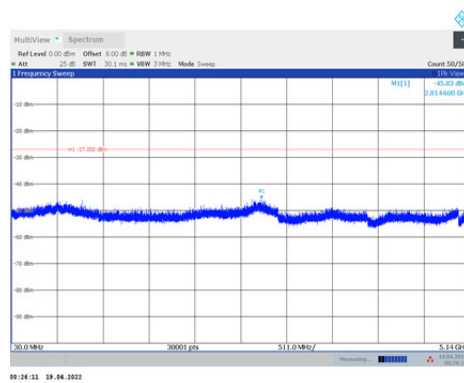
11AC20MIMO_Ant1_5300_30~5140



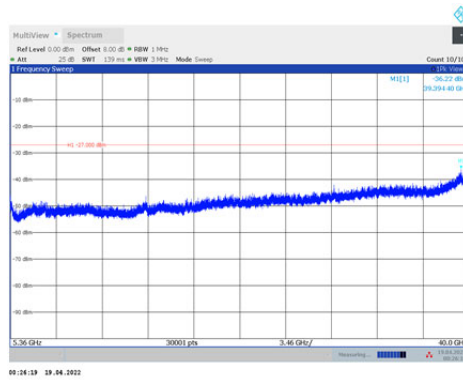
11AC20MIMO_Ant1_5300_5360~40000



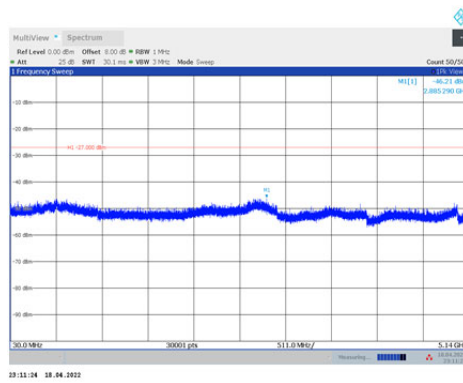
11AC20MIMO_Ant2_5300_30~5140



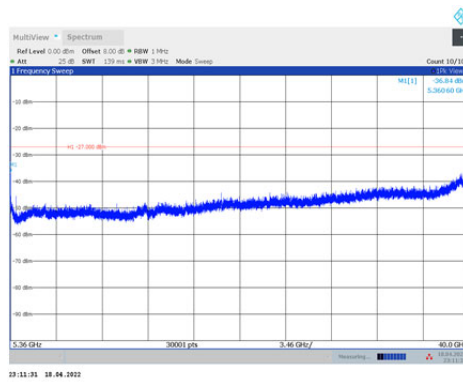
11AC20MIMO_Ant2_5300_5360~40000



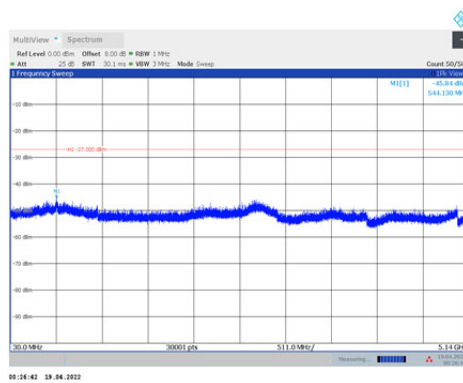
11AC20MIMO_Ant1_5320_30~5140



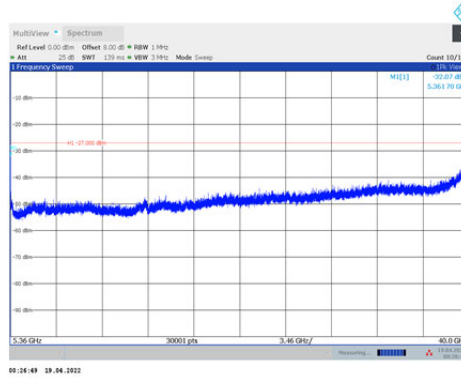
11AC20MIMO_Ant1_5320_5360~40000



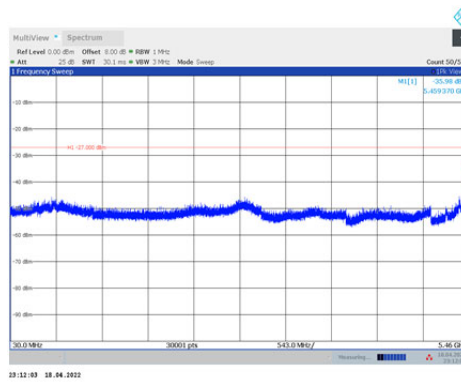
11AC20MIMO_Ant2_5320_30~5140



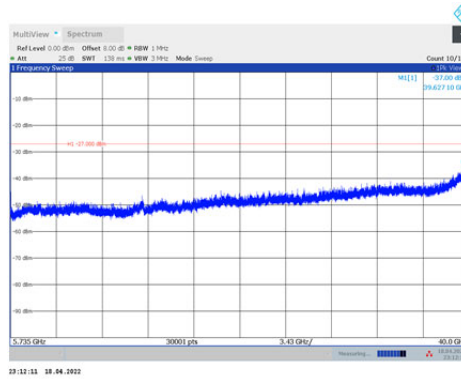
11AC20MIMO_Ant2_5320_5360~40000



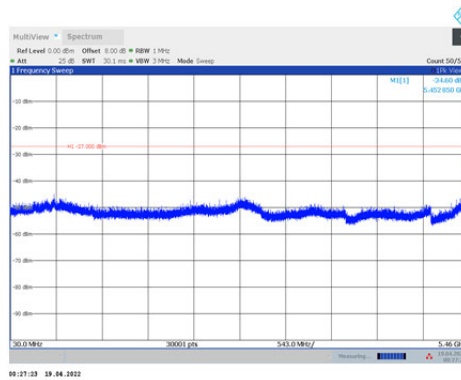
11AC20MIMO_Ant1_5500_30~5460



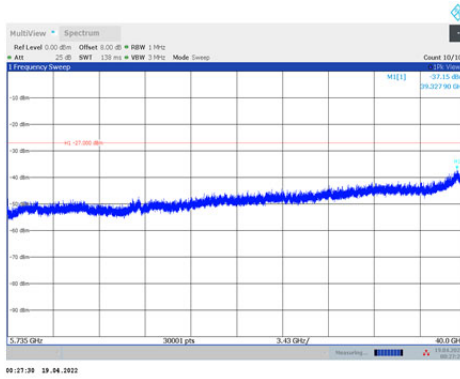
11AC20MIMO_Ant1_5500_5735~40000



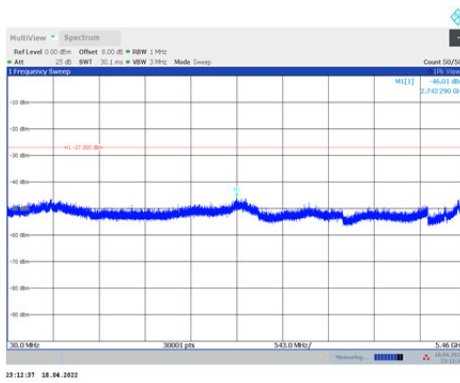
11AC20MIMO_Ant2_5500_30~5460



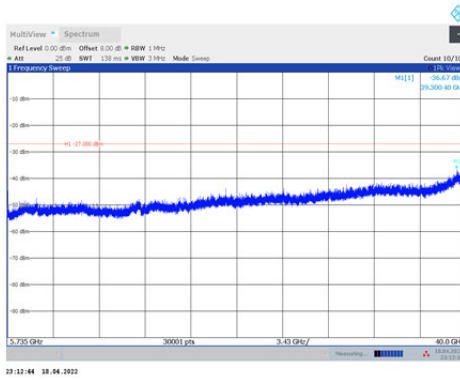
11AC20MIMO_Ant2_5500_5735~40000



11AC20MIMO_Ant1_5520_30~5460



11AC20MIMO_Ant1_5520_5735~40000



11AC20MIMO_Ant2_5520_30~5460

